

# Estimations de la position d'un agent mobile dans un environnement bornée grâce aux modèles de Markov cachés

Cédric Beaulac

Université du Québec à Montréal

2 Juillet 2015

- Estimation de la position inconnue d'un agent en déplacement dans un environnement bornée.
- Utilisation des modèles de Markov cachés et des modèles de semi-Markov cachés pour modéliser et résoudre cette problématique
- Mise au point d'une intelligence artificielle capable d'effectuer cette tâche de façon autonome.

# Plan de le présentation

- 1 Introduction
- 2 Intelligence artificielle et jeu vidéo
- 3 Modèle de Markov caché
- 4 Modèle de semi-Markov caché
- 5 Modélisation de la problématique
- 6 Algorithmie et programmation
- 7 Expérimentations et résultats
- 8 Conclusion

# Intelligence artificielle et jeu vidéo

- Construction de programmes informatiques qui peuvent reproduire un comportement humain
- Interdisciplinaire : Psychologie, Mathématique, Informatique et autres
- Dans plusieurs environnements, incluant les jeux vidéo

- Terminologie : Avatar, *bot*, Jeux compétitifs (*PvP*), Carte de jeu.
- Actuellement, l'intelligence artificielle n'est tout simplement pas intelligente ou bien elle triche.
- Créer une IA qui peut performer dans un contexte de jeu vidéo compétitif. Imiter le processus d'estimation d'un être humain. Performer sans tricher.

# Jeu vidéo : Carte de jeu

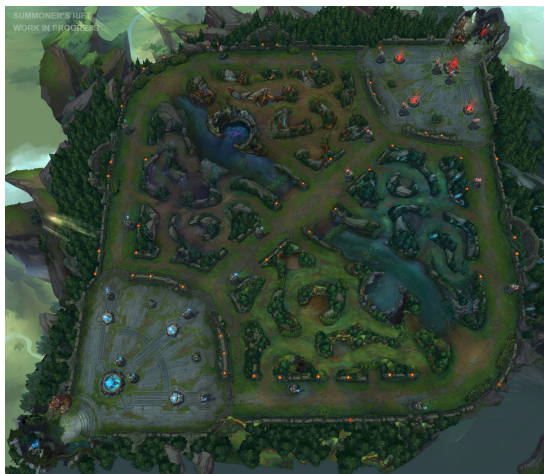


Figure: Carte de jeu de *League of Legends*

# Modèle de Markov caché (HMM)

# Modèle de Markov caché : Introduction

- Une variable markovienne standard sous-jacente
- Les observations ne sont pas les réalisations de la variable de Markov
- Les observations sont une variable aléatoire dépendante de la variable markovienne
- Les observations peuvent être de n'importe quelle distribution
- L'inférence se fait avec les observations

- Variable de Markov :  $q_t$ , variable aléatoire  $q$  et indice  $t$
- Espace de états :  $S = \{s_1, s_2, \dots, s_n\}$
- Probabilité de transition  $a_{i,j} = P[q_t = s_j | q_{t-1} = s_i]$
- Matrice de transition **A**
- Distribution initiale  $\mu$  où  $\mu_i = P[q_1 = s_i]$

- Variable observée :  $X_t$
- Loi d'observation :  $b_i(x_t) = P[X_t = x_t | q_t = s_i]$
- Si les observations sont de poisson :  $b_i(x_t) = e^{-\lambda_i} \lambda_i^{x_t} / x_t!$
- Séquence d'états visités :  $q_1, q_2, \dots, q_T$
- Séquence d'observations :  $x_1, x_2, \dots, x_T$

# Modèle de Markov caché

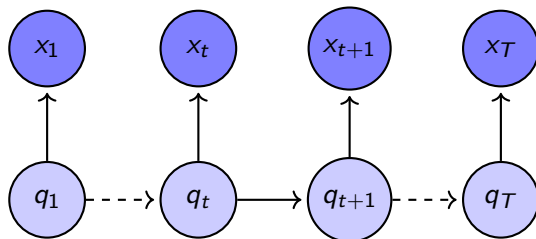
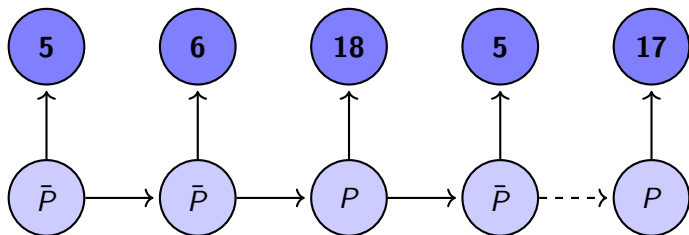


Figure: Illustration de  $T$  réalisations d'une chaîne de Markov caché. Notons que seuls les  $x_t$  sont observés. Les éléments pâles ne sont pas observés.

- Variable markovienne  $q_t$  : température
- $S = \{P, \bar{P}\}$
- Observations  $x_t$  : Nombre de parapluies vendus par un kiosque.
- Les observations sont de poissons  $\lambda_P = 20$  et  $\lambda_{\bar{P}} = 5$
- On veut faire de l'inférence sur la température en utilisant le nombre de parapluies vendus.

# Modèle de Markov caché : Exemple



- Algorithme *forward* permet d'évaluer la valeur  $P[x_1, x_2, x_3, \dots, x_t \text{ et } q_t = s_j] \forall t \text{ et } \forall s_j$
- Coefficients  $\alpha_t(i) = P[x_1, x_2, x_3, \dots, x_t \text{ et } q_t = s_i]$
- $P[x_1, x_2, \dots, x_t] = \sum_i P[x_1, x_2, \dots, x_t \text{ et } q_t = s_i] = \sum_i \alpha_t(i)$
- $P[q_t = s_j | x_1, x_2, \dots, x_t] = \frac{P[q_t = s_j \text{ et } x_1, x_2, \dots, x_t]}{P[x_1, x_2, \dots, x_t]} = \alpha_t(i) / \sum_i \alpha_t(i)$

- Algorithme *forward* :

$$\begin{aligned}\alpha_{t+1}(j) &= P(x_1, x_2, \dots, x_t, x_{t+1} \text{ et } q_{t+1} = s_j) \\ &= \sum_i^n P(x_1, x_2, \dots, x_t, x_{t+1} \text{ et } q_t = s_i \text{ et } q_{t+1} = s_j) \\ &= \sum_i^n \alpha_t(i) a_{ij} b_j(x_{t+1}).\end{aligned}$$

- Valeurs initiales :  $\alpha_1(i) = \mu_i b_i(x_1)$

- Algorithme *backward* :

$$\begin{aligned}\beta_t(i) &= P(x_{t+1}, x_{t+2}, \dots, x_T | q_t = s_i) \\ &= \sum_{j=1}^N P(x_{t+1}, x_{t+2}, \dots, x_T \text{ et } q_{t+1} = s_j | q_t = s_i) \\ &= \sum_{j=1}^N a_{ij} b_j(x_{t+1}) \beta_{t+1}(j).\end{aligned}$$

- Valeurs initiales :  $\beta_T(i) = 1$

- Algorithme de *Baum-Welch*
- Algorithme *EM* pour HMM
- Permet l'estimation de tous les paramètres des HMM par maximisation de la vraisemblance

- Calcul des valeurs attendues (*Expected values*) :
- $\gamma_t(i) = P[q_t = S_i | x_1, x_2, \dots, x_T] = \alpha_t(i)\beta_t(i)/V_T.$
- $\xi_t(i, j) = P[q_{t-1} = s_i, q_t = s_j | x_1, x_2, \dots, x_T] = \alpha_{t-1}(i)a_{i,j}b_j(x_t)\beta_t(j)/V_T.$

- En maximisant la vraisemblance ( $V(x, q)$ ), on obtient :

$$\begin{aligned}\hat{a}_{i,j} &= \frac{\sum_{t=2}^T \xi_t(i, j)}{\sum_j^n \sum_{t=2}^T \xi_t(i, j)} \\ &= \frac{\sum_{t=2}^T \xi_t(i, j)}{\sum_{t=2}^T \gamma_t(i)} \\ &= \frac{\sum_{t=2}^T P[q_{t-1} = s_i, q_t = s_j | x_1, x_2, \dots, x_T]}{\sum_{t=2}^T P[q_t = s_j | x_1, x_2, \dots, x_T]}.\end{aligned}$$

- On peut aussi obtenir des estimateurs pour  $\mu$  et  $b$ .

- En maximisant la vraisemblance ( $V(x, q)$ ), on obtient :

$$\begin{aligned}\hat{a}_{i,j} &= \frac{\sum_{t=2}^T \xi_t(i, j)}{\sum_j^n \sum_{t=2}^T \xi_t(i, j)} \\ &= \frac{\sum_{t=2}^T \xi_t(i, j)}{\sum_{t=2}^T \gamma_t(i)} \\ &= \frac{\sum_{t=2}^T P[q_{t-1} = s_i, q_t = s_j | x_1, x_2, \dots, x_T]}{\sum_{t=2}^T P[q_t = s_j | x_1, x_2, \dots, x_T]}.\end{aligned}$$

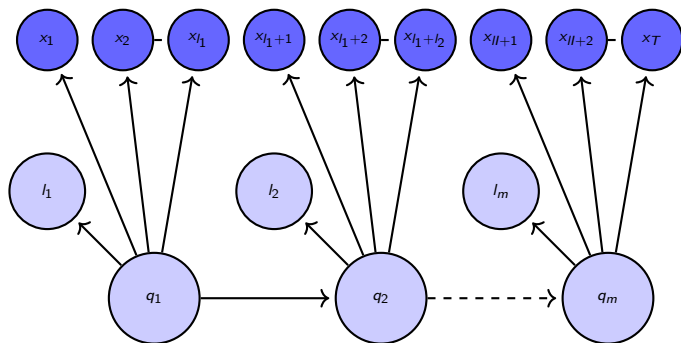
- On peut aussi obtenir des estimateurs pour  $\mu$  et  $b$ .

# Modèle de semi-Markov caché (HSMM)

- Généralisation du temps demeuré à chaque états.
- Habituellement géométrique de paramètre :  $1 - a_{i,j}$ .
- Maintenant deux variables : Variable markovienne  $q_t$  et la variable de durée  $l_t$ .
- Différent d'une chaîne de Markov à temps continue.

- Demeure  $l_t$  unité de temps à l'état sous-jacente  $s_j$ .
- $l_t$  observations provenant de  $s_j$ .
- Plus d'informations mais plus de paramètre à estimer.
- Notation très complexe.

# Modèle de semi-Markov caché : Exemple



**Figure:** Illustration d'une séquence d'observations d'une chaîne de semi-Markov cachée. Ici,  $m$  variables markoviennes furent réalisées et  $T$  observations furent obtenues. De plus,  $l = \sum_1^{m-1} l_i$ . Les éléments pâles ne sont pas observés.

- Nous travaillerons avec un cas particulier, un modèle de Markov caché à durée explicite :  $P(s_i, l | s_j, l_{t_p}) = P(s_i | s_j)P(l | s_i)$
- Inférence avec *forward*, *backward* et *Baum-Welch*.
- Modifications importantes de ces algorithmes

- $\alpha_t(s_i) = P(q_t = s_i, F_t = 1, x_{1:t}) = \sum_l P(x_{t-l_t+1:t} | s_i, l_t) P(l | s_i) \sum_{j \neq i} P(s_i | s_j) \alpha_{t_p}(s_j).$
- $\beta_t^*(s_j) = P(x_{t+1:T} | q_{t+1} = s_j, F_t = 1) = \sum_{l_{t_n}} P(x_{t+1:t+l_{t_n}} | q_{t_n}, L_{t_n}) \beta_{t_n}(s_j) P(l_{t_n} | s_j)..$
- *Baum-Welch* :  $\hat{a}_{i,j} = \frac{\sum_{t=2}^T \alpha_t(i) a_{i,j} \beta_t^*(j)}{\sum_j \sum_{t=1}^T \alpha_t(i) a_{i,j} \beta_t^*(j)}$

# Modélisation de la problématique

- La position de l'agent sera l'état
- Elle est inconnu, donc caché.
- Problème d'estimation de l'état.
- Nous aurons des observations dépendantes de l'état.
- Contexte : Intelligence artificielle dans un jeu vidéo

- Quadriller la carte de jeu. L'ensemble de ces  $n$  cases formera l'espace des états  $S$ .
- Vecteur de probabilité initiale connue de tous. Implémenter directement dans le jeu.
- Probabilité de transition  $a_{i,j}$  : Probabilité de se déplacer d'une case à l'autre

- Représente en quelque sorte les connaissances sur l'agent mobile.
- Inconnu, peut être estimé de plusieurs manières.
- Estimé empiriquement par Hladky (Hladky, 2009).
- Partit très importante de l'estimation.

- L'avatar reçoit de l'information de son environnement.
- Si nous le voyons directement, pas d'estimation.
- Si nous le voyons pas, nous gagnons de l'information tout de même.
- Défi de modélisation de ces observations

# Modélisation : Champs de vision

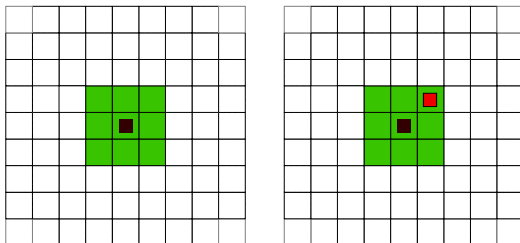


Figure: Exemple d'un champ de vision. Classique dans plusieurs jeux vidéo.

- Notons  $W$ , l'ensemble des cases observées (les cases vertes).
- $b_i(x_t) = P[X_t = x_t | q_t = s_i] = 1 - \mathbf{1}[s_i \in W]$ .
- Probabilité d'observer qu'il n'est pas là sachant qu'il est là = 0.
- Dans la situation d'intérêt, nous n'observons par l'agent. Dans ce cas,  $s_i \in W$  alors  $b_i(x_t) = 0$ .

- Estimé en temps réelle la position de l'agent mobile à l'intérieur de l'espace bornée.
- Apprendre au fil du temps le comportement de l'agent pour mieux estimer sa position.

- Utilisation de l'algorithme *forward* :

$$\begin{aligned} P[q_t = s_i | x_1, x_2, \dots, x_t] &= \frac{\alpha_t(i)}{\sum_i \alpha_t(i)} \\ &= \frac{b_i(x_t) \sum_j^N \alpha_{t-1}(j) a_{ji}}{\sum_i b_i(x_t) \sum_j^N \alpha_{t-1}(j) a_{ji}}. \end{aligned} \tag{1}$$

- Souvenons-nous :  $s_j \in W$  alors  $b_i(x_t) = 0$

- L'important, c'est l'élimination des chemins.
- Rappelons :  $\alpha_{t+1}(j) = b_j(x_{t+1}) \sum_i^N \alpha_t(i) a_{i,j}$
- Souvenons-nous :  $s_j \in W$  alors  $\alpha_t(i) = 0$ . Nous simplifions donc le calcul des sommations.
- Nous éliminons tous les chemins qui passent par  $s_j$  au temps  $t$ .
- Grande force de cette méthodologie.

- Comme les observations ne font qu'éliminer progressivement certaines cases.
- La matrice de transition représente une importante partie de l'estimation en temps réelle
- Nous voulons que l'intelligence artificielle s'adapte à son adversaire comme le ferais un joueur humain.
- Une IA sans apprentissage est facile à battre.

- Nous allons utiliser *Baum-Welch* pour estimer la matrice de transition en fonction de nos observations.
- Nous aurons de multiples séquences d'observations.
- Supposons que les  $m$  parties que nous jouer contre notre adversaires sont indépendantes.

$$\hat{a}_{i,j} = \frac{\sum^m \sum_{t=2}^T \xi_t(i,j)}{\sum^m \sum_j^n \sum_{t=2}^T \xi_t(i,j)}.$$

- Afin de garder une certaine flexibilité, nous utilisons une matrice hybride, ne considérant que quelques des dernières parties.
- Une partie de la matrice sont des connaissances générale (20%).
- L'autre partie est la matrice estimé à partir des 10 dernières parties. (80%).
- Nous avons ainsi développer un *bot* qui ne perdras pas de la même manière plusieurs parties de suite.

# Algorithmie et programmation

- Algorithmes de Markov caché
- Aucune raison de ne pas croire en l'hypothèse de la géométrie. Aucune case particulière, pas de stratégie déjà établis.
- Algorithmes plus rapides d'exécution.
- Nettement plus simple à programmer.

- $\alpha$  et  $\beta$  sont des produits de probabilités. Converge rapidement vers 0.
- Série de tranformation à effectuer pour empêcher la convergence et pour récupérer les valeurs originales.
- Calcul de la vraisemblance complexe.

- Programmer une intelligence artificielle qui estime la position d'un agent mobile et qui apprend de ces expériences passés.
- Développer un jeu vidéo nous permettant de mettre à l'épreuve notre intelligence artificielle.

# Programmation : base de l'environnement de test

- Jeu où l'estimation de la position de son adversaire était d'une grande importance.
- Carte quadrillé avec positions discrètes.
- Jeu tour par tour.
- Un déplacement par tour sur les cases adjacentes.
- Deux joueurs en opposition.
- Le joueur humains veut atteindre un objectif, le *bot* veut l'en empêcher en le touchant.

- Ne triche pas.
- Débute avec un ensemble d'information que tout joueur possèdent : position initiale et règlements du jeu.
- Performe bien et apprends.

- Après le tour du joueur, elle obtient les observations de son environnement et estime les probabilités de chaque position selon l'algorithme *forward*.
- La position la plus probable est l'estimation de la position de son adversaire.
- Détermine la distance entre cette position et les cases qui l'entourent grâce à l'algorithme de Dijkstra.
- En cas d'égalité, elle choisit la case la plus révélatrice.

- À la fin de la partie, elle prend compte de l'état finale du match
- Ajoute cette partie à ses connaissances.
- Estime la matrice de transition à l'aide de *Baum-Welch* à partir de quelques-unes des dernières parties.

# Expérimentations et résultats

- Jeu équitable.
- Pas de victoire trivial.
- Motive la création de stratégie

# Expérimentations : environnement de test



Figure: Exemple d'un champ de vision. Classique dans plusieurs jeux vidéo.

- 1 Évaluer la précision de l'estimation.
- 2 Distance entre l'estimation de la position de l'agent et sa véritable position.
- 3 Distance moyenne pour une partie complète.

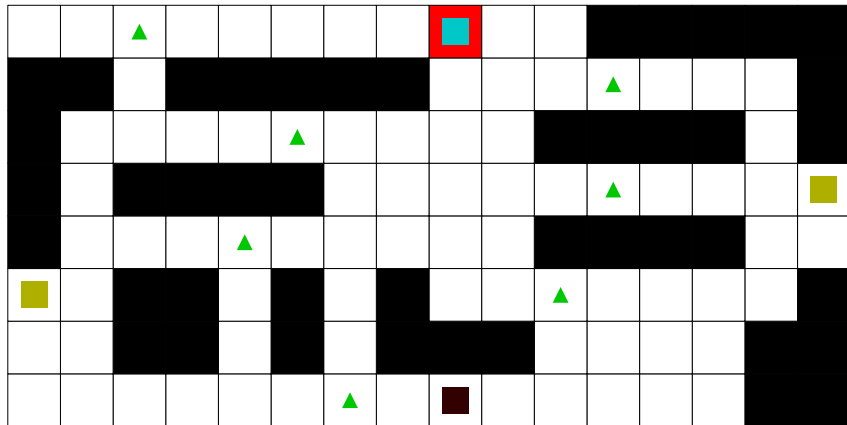
Comparer notre statistique de test pour plusieurs intelligences.

- 1 Intelligence sans connaissance et sans apprentissage.
- 2 Intelligence avec connaissance et sans apprentissage (Hladky).
- 3 Intelligence avec connaissance et avec apprentissage (notre intelligence).

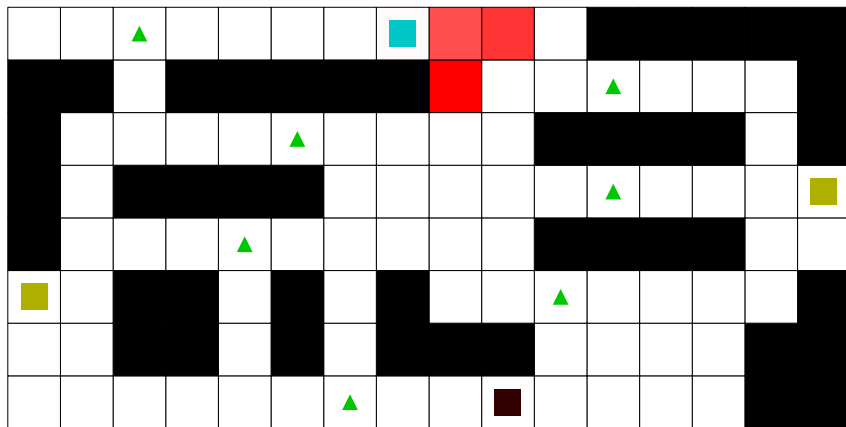
- 1 Dix parties avec exactement la même stratégie.
- 2 Huit parties avec une stratégie. Puis changement de stratégie pour huit autres parties.
- 3 Alternance entre deux stratégie pendant douze parties.

- 1 Représentation de la carte de jeu.
- 2 Affiche les probabilités estimés par un dégradé de rouge.
- 3 Nous aide a visualiser l'estimation en temps réelle et l'apprentissage.

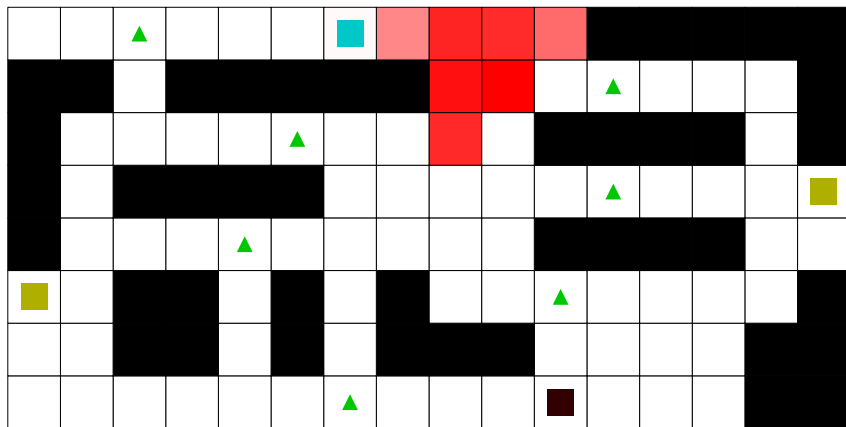
# Carte de chaleur : Stratégie A, Partie # 1, Tour # 1



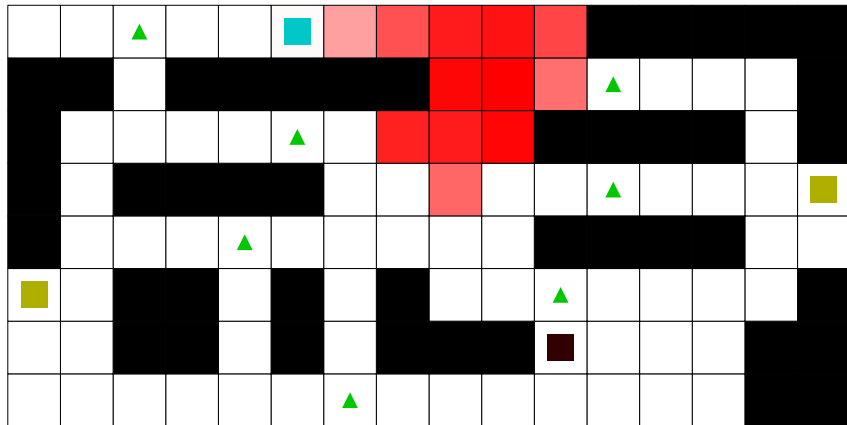
# Carte de chaleur : Stratégie A, Partie # 1, Tour # 2



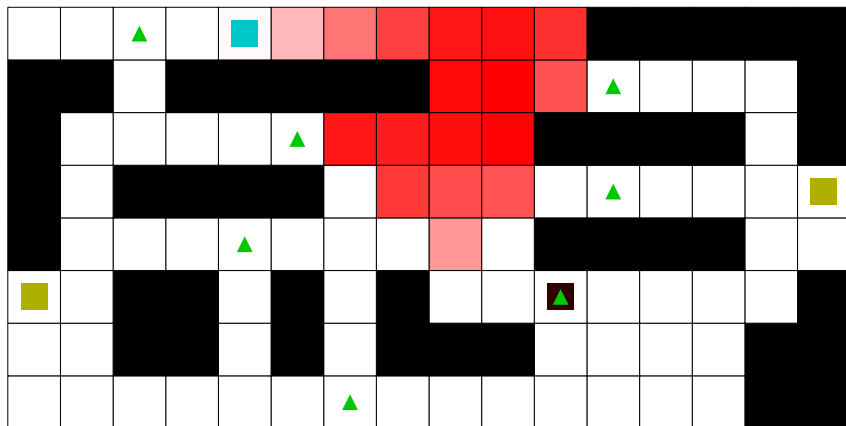
# Carte de chaleur : Stratégie A, Partie # 1, Tour # 3



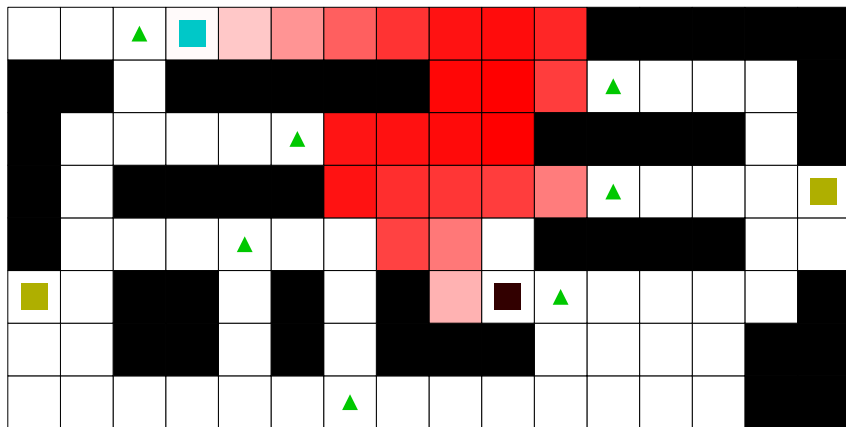
# Carte de chaleur : Stratégie A, Partie # 1, Tour # 4



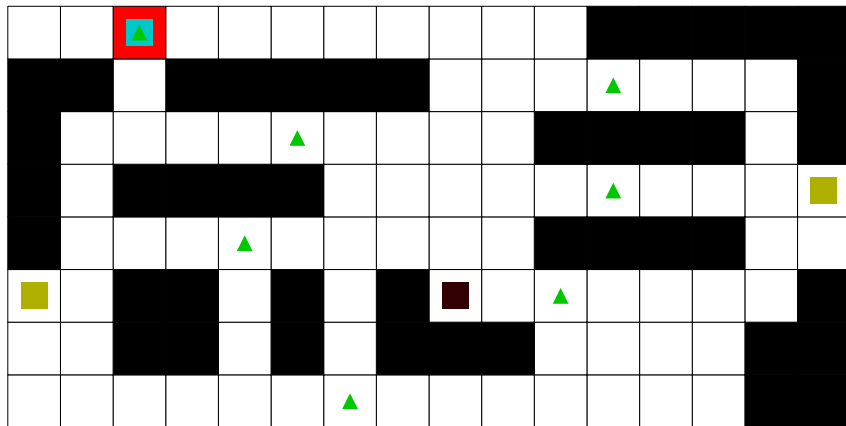
# Carte de chaleur : Stratégie A, Partie # 1, Tour # 5



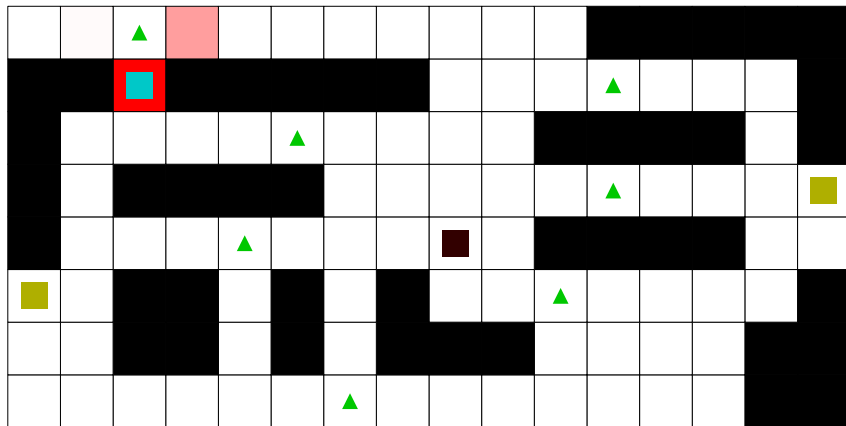
# Carte de chaleur : Stratégie A, Partie # 1, Tour # 6



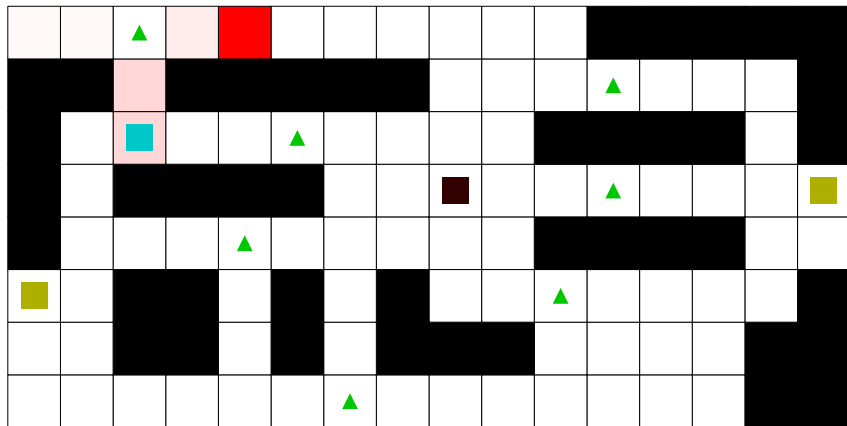
# Carte de chaleur : Stratégie A, Partie # 1, Tour # 7



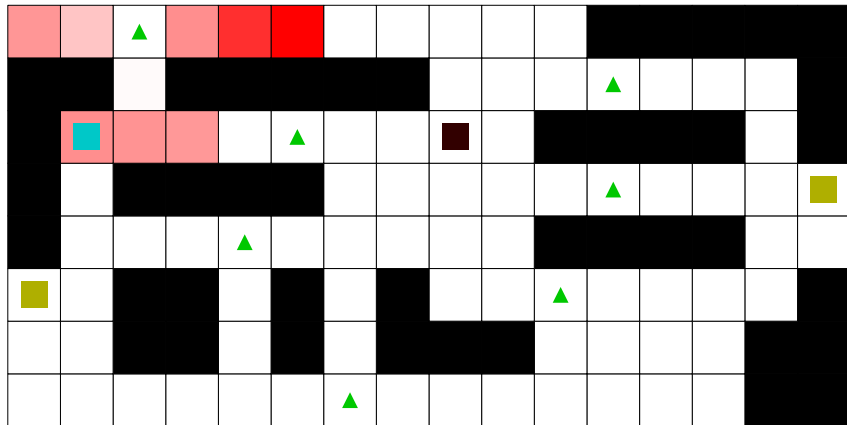
# Carte de chaleur : Stratégie A, Partie # 1, Tour # 8



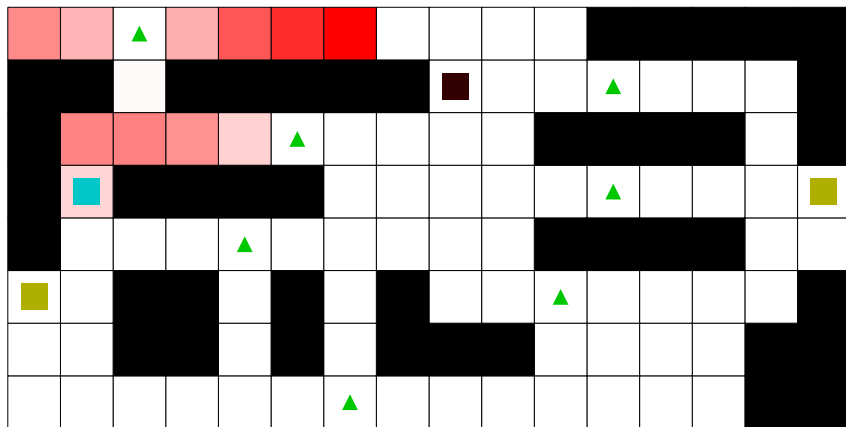
# Carte de chaleur : Stratégie A, Partie # 1, Tour # 9



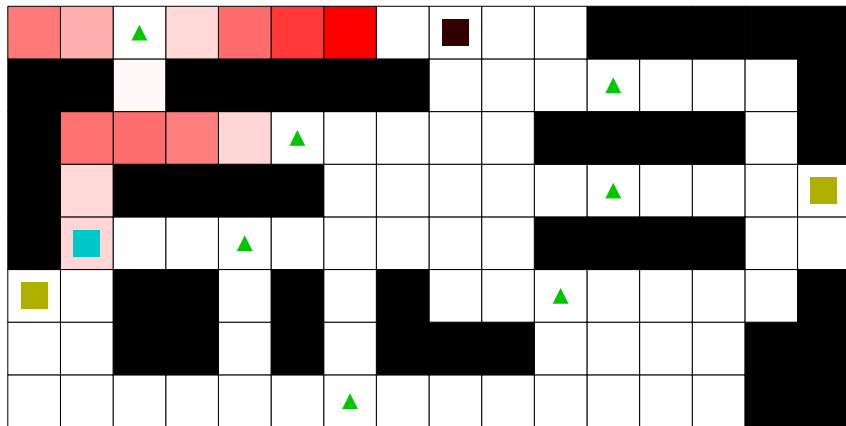
# Carte de chaleur : Stratégie A, Partie # 1, Tour # 10



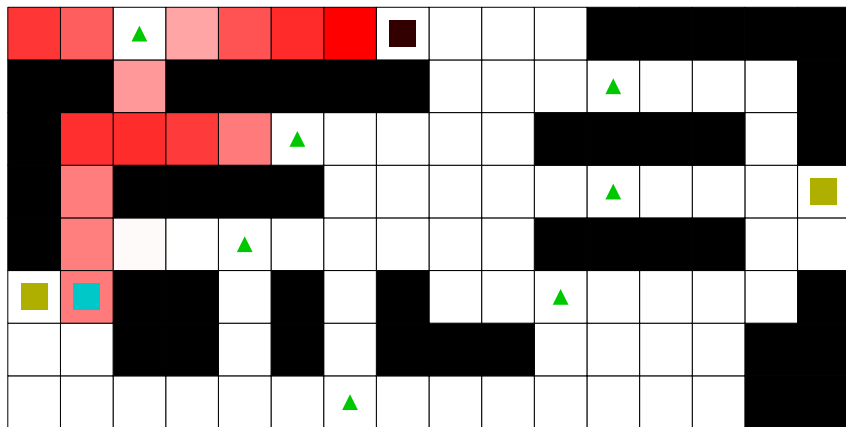
# Carte de chaleur : Stratégie A, Partie # 1, Tour # 11



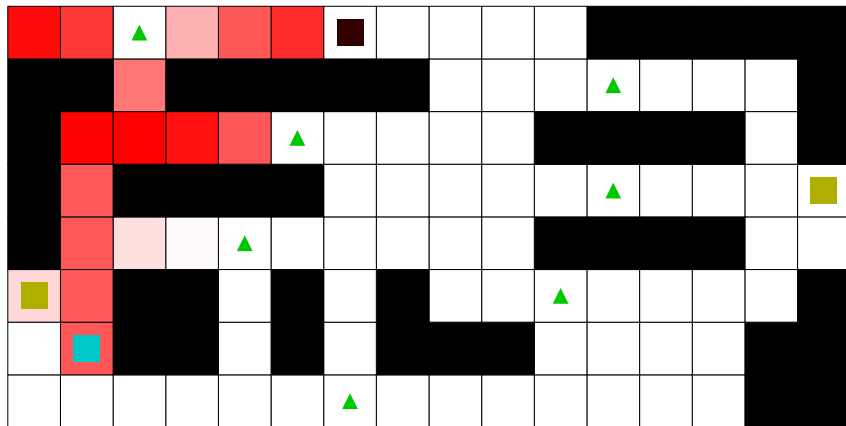
# Carte de chaleur : Stratégie A, Partie # 1, Tour # 12



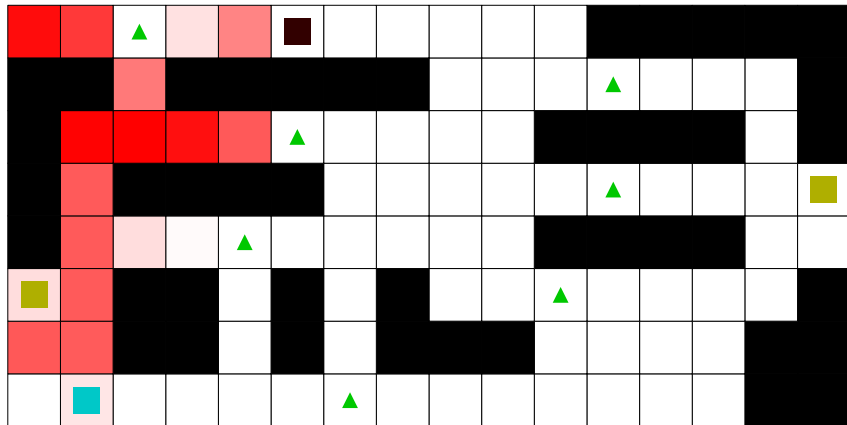
# Carte de chaleur : Stratégie A, Partie # 1, Tour # 13



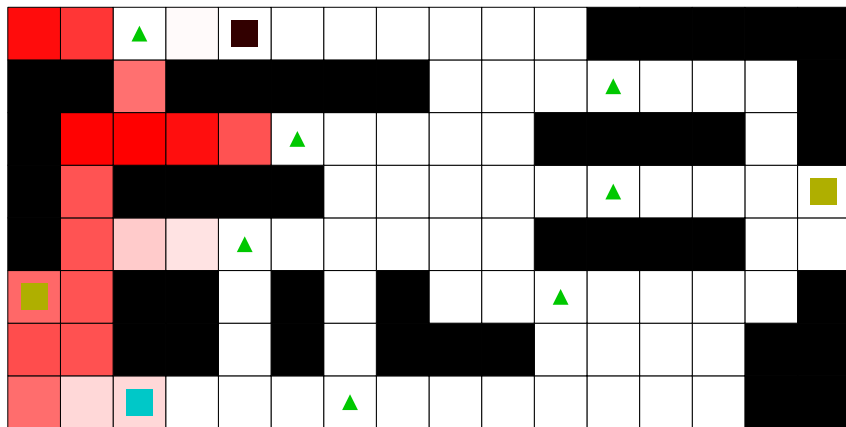
# Carte de chaleur : Stratégie A, Partie # 1, Tour # 14



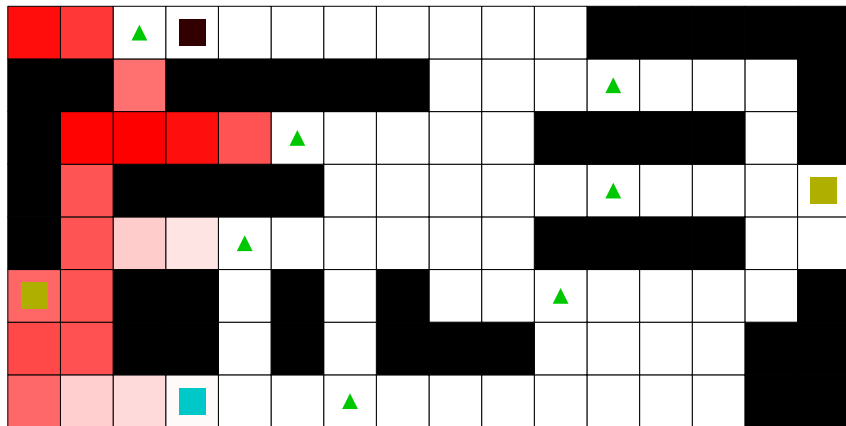
# Carte de chaleur : Stratégie A, Partie # 1, Tour # 15



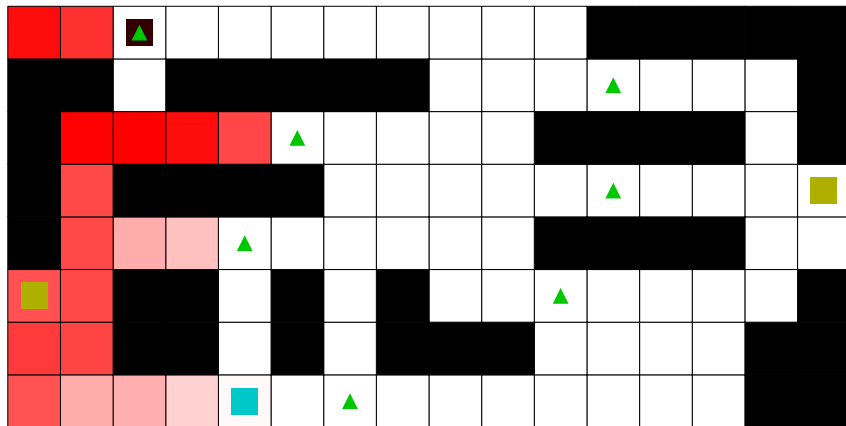
# Carte de chaleur : Stratégie A, Partie # 1, Tour # 16



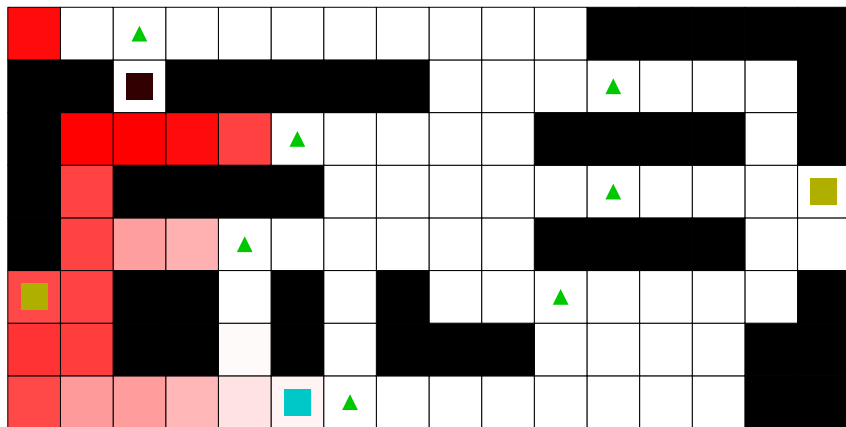
# Carte de chaleur : Stratégie A, Partie # 1, Tour # 17



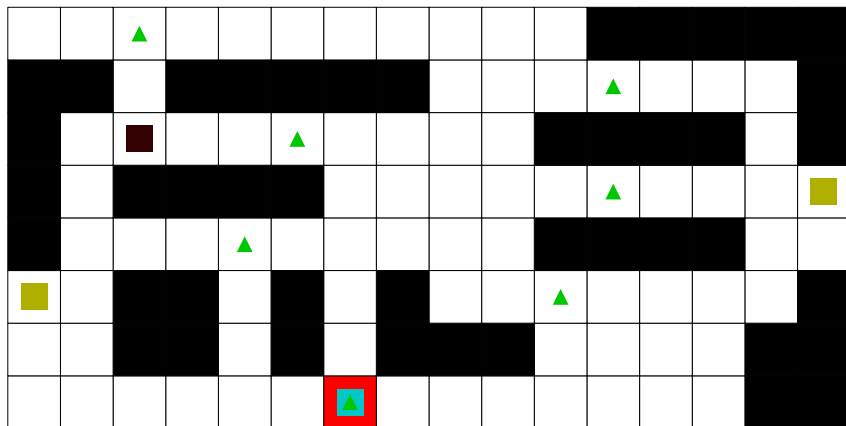
# Carte de chaleur : Stratégie A, Partie # 1, Tour # 18



# Carte de chaleur : Stratégie A, Partie # 1, Tour # 19

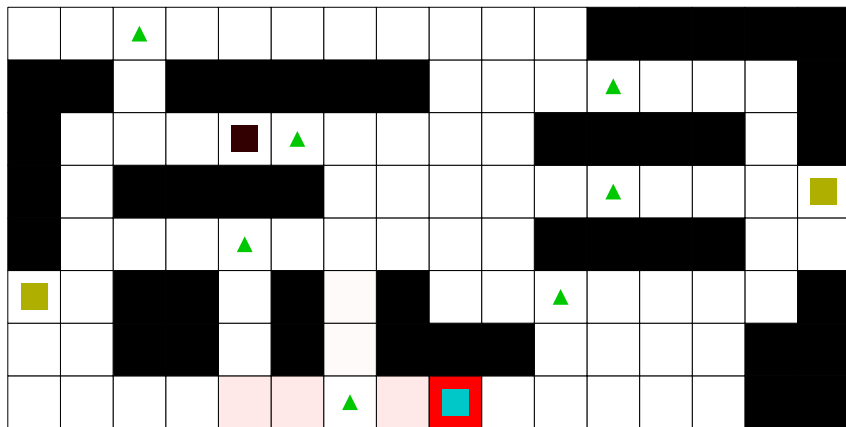


# Carte de chaleur : Stratégie A, Partie # 1, Tour # 20

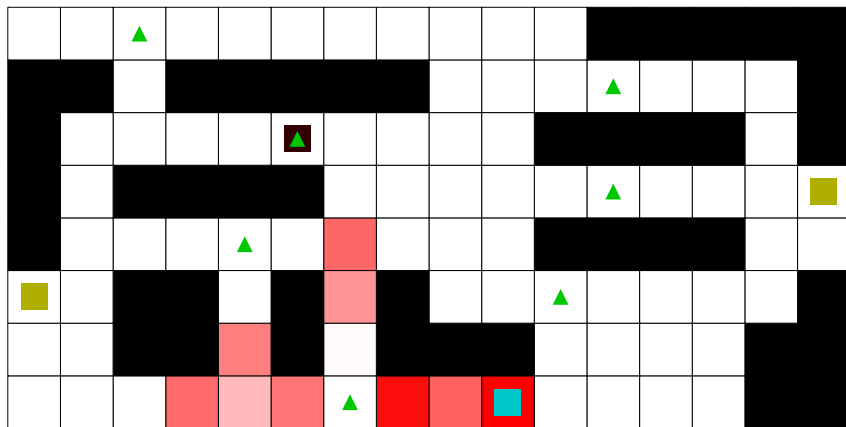




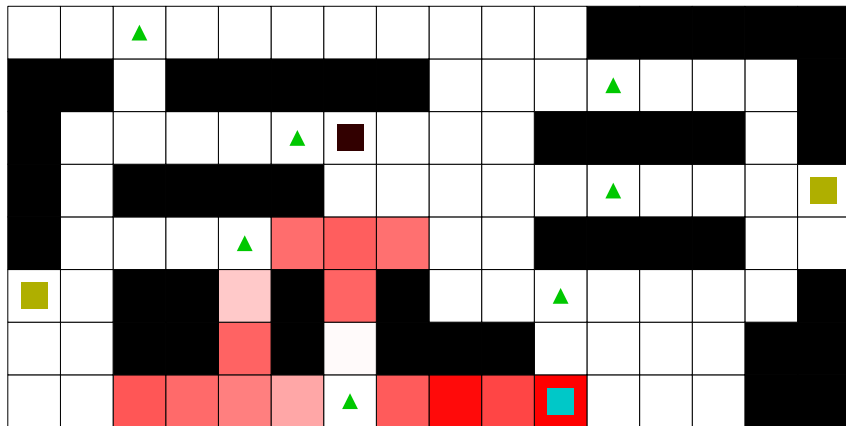
# Carte de chaleur : Stratégie A, Partie # 1, Tour # 22



# Carte de chaleur : Stratégie A, Partie # 1, Tour # 23

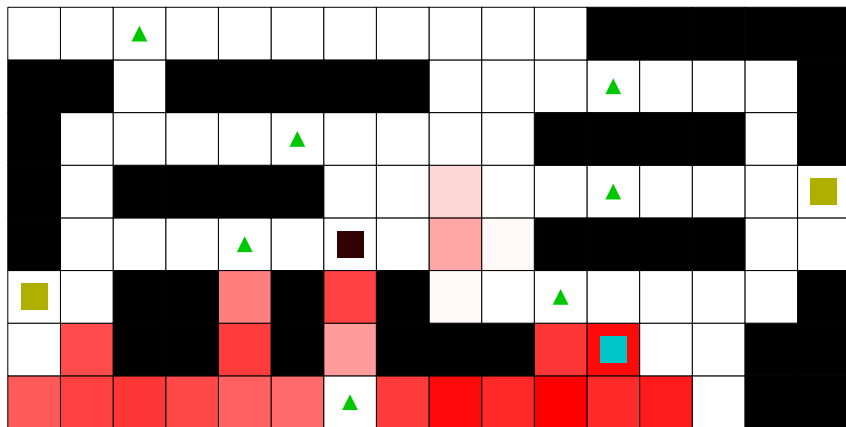


# Carte de chaleur : Stratégie A, Partie # 1, Tour # 24

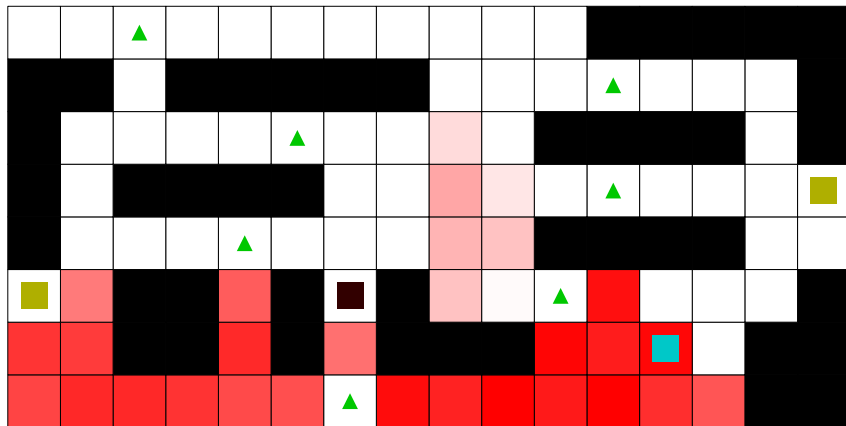




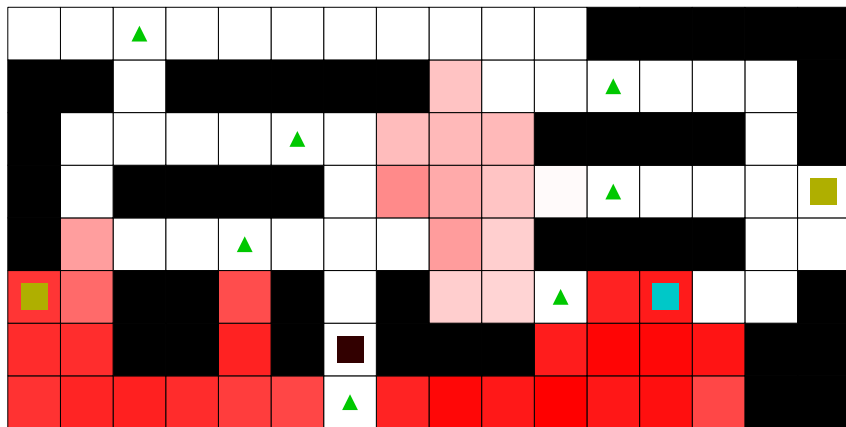
# Carte de chaleur : Stratégie A, Partie # 1, Tour # 26



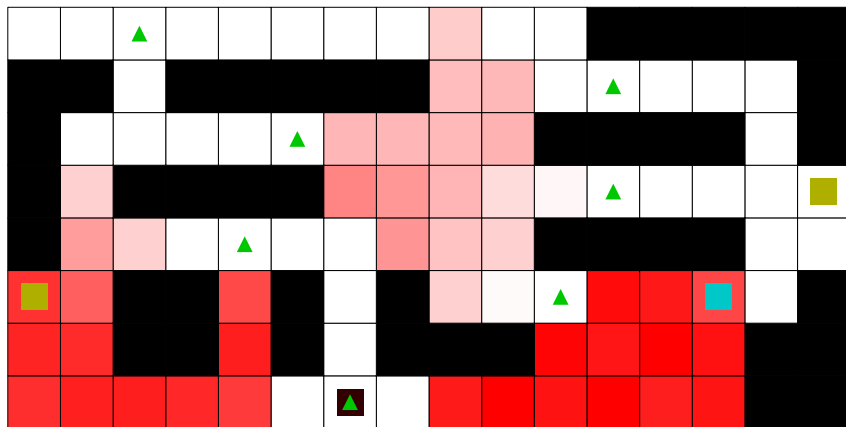
# Carte de chaleur : Stratégie A, Partie # 1, Tour # 27



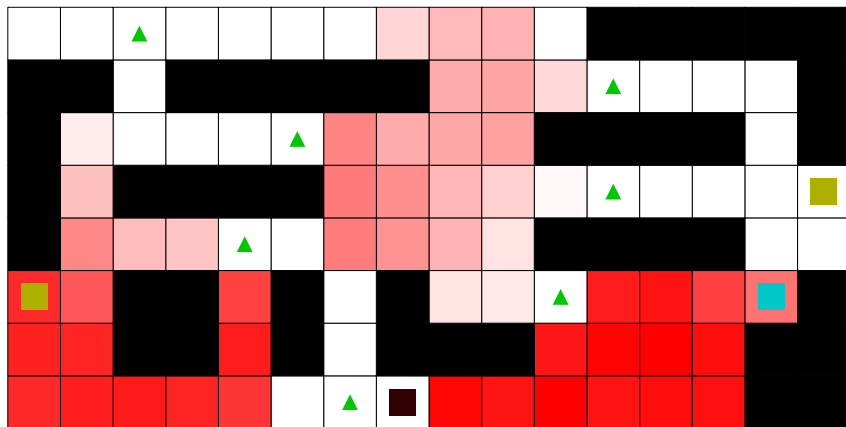
# Carte de chaleur : Stratégie A, Partie # 1, Tour # 28



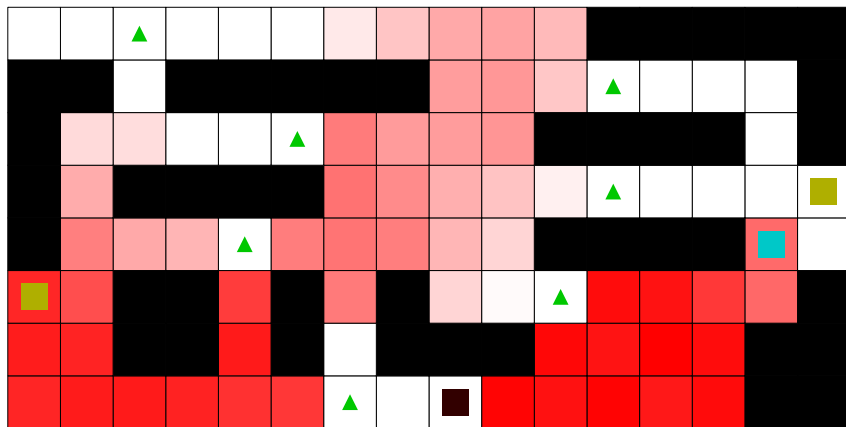
# Carte de chaleur : Stratégie A, Partie # 1, Tour # 29



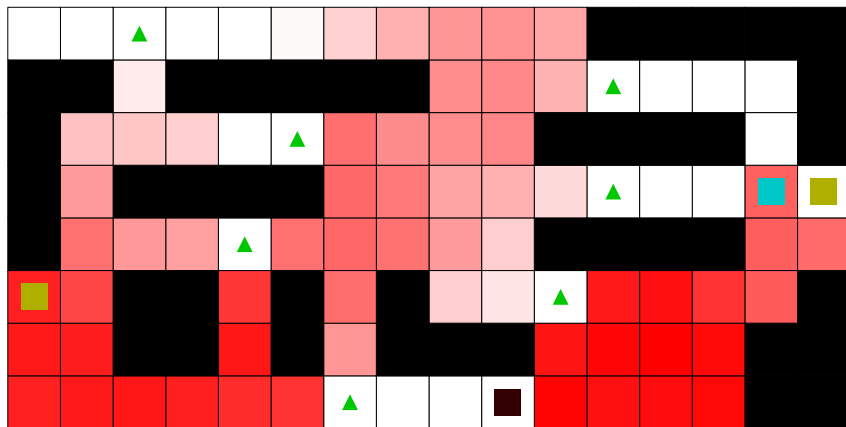
# Carte de chaleur : Stratégie A, Partie # 1, Tour # 30



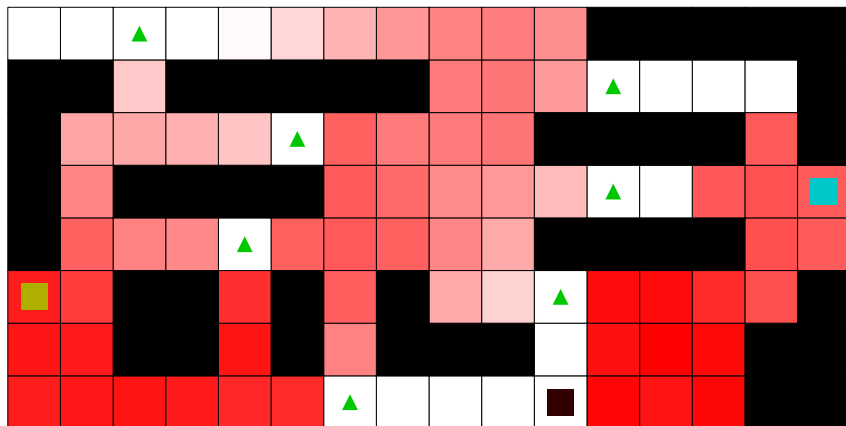
# Carte de chaleur : Stratégie A, Partie # 1, Tour # 31



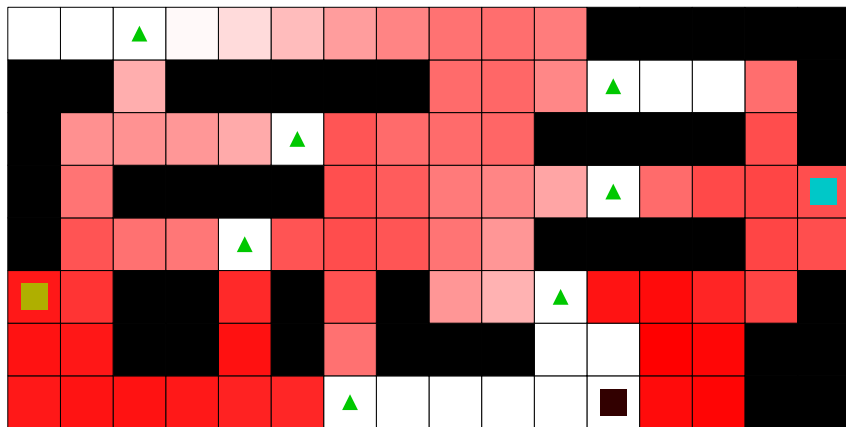
# Carte de chaleur : Stratégie A, Partie # 1, Tour # 32



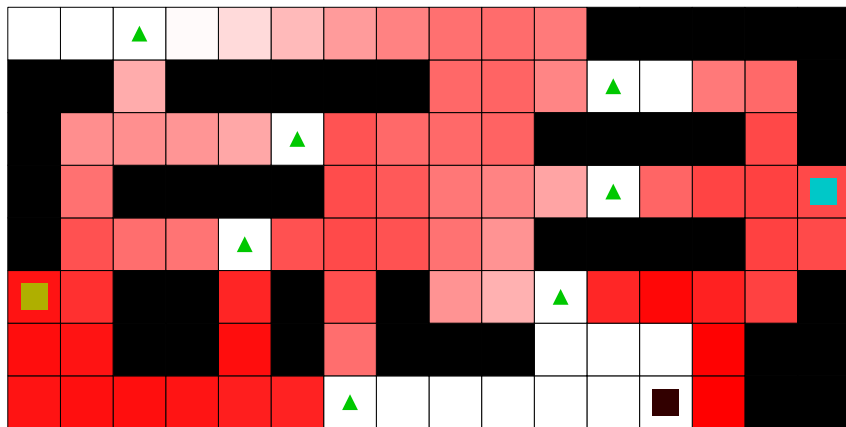
# Carte de chaleur : Stratégie A, Partie # 1, Tour # 33



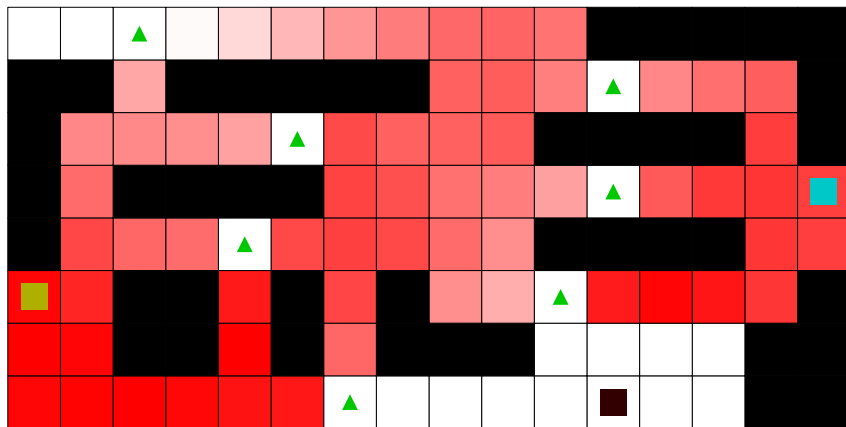
# Carte de chaleur : Stratégie A, Partie # 1, Tour # 34



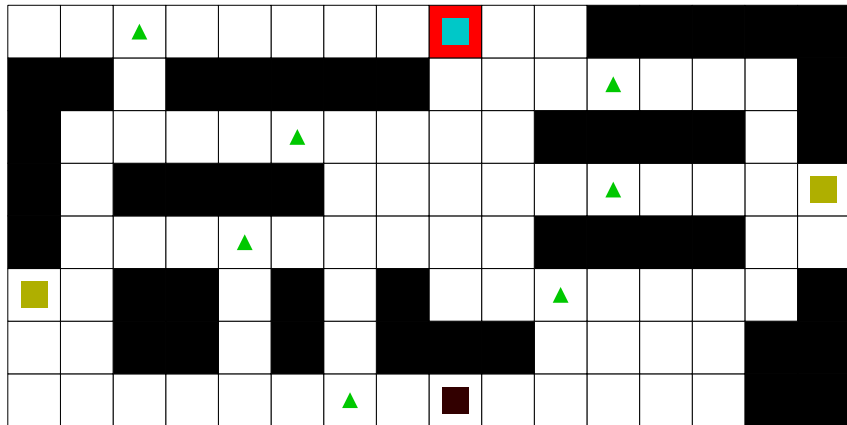
# Carte de chaleur : Stratégie A, Partie # 1, Tour # 35



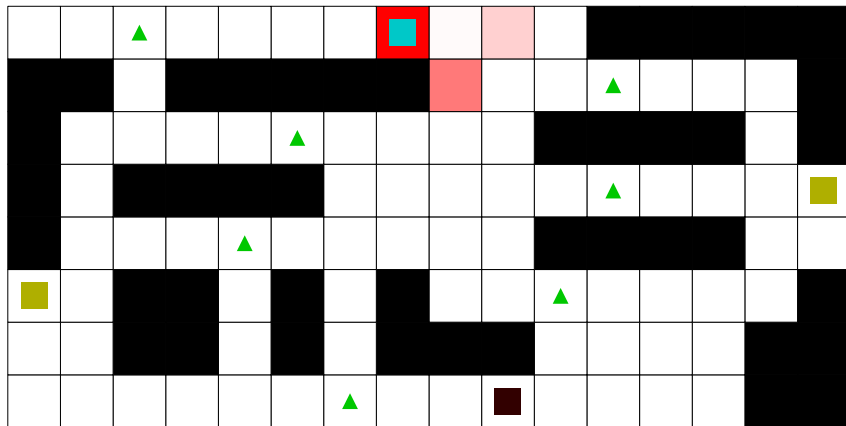
# Carte de chaleur : Stratégie A, Partie # 1, Tour # 36



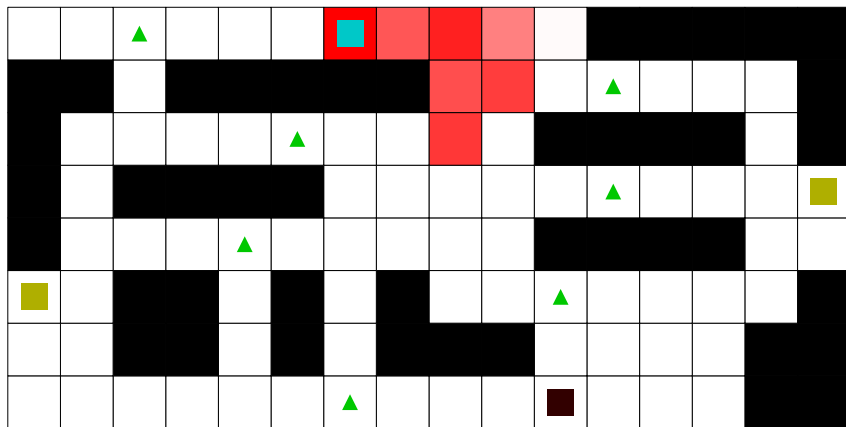
# Carte de chaleur : Stratégie A, Partie # 10, Tour # 1



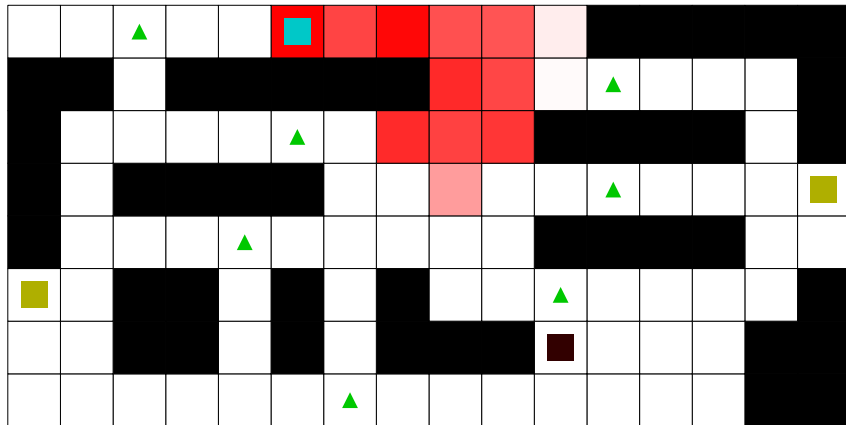
# Carte de chaleur : Stratégie A, Partie # 10, Tour # 2



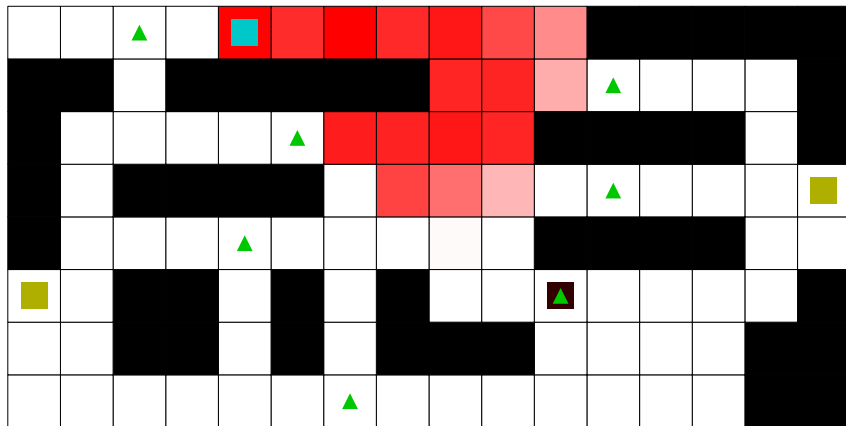
# Carte de chaleur : Stratégie A, Partie # 10, Tour # 3



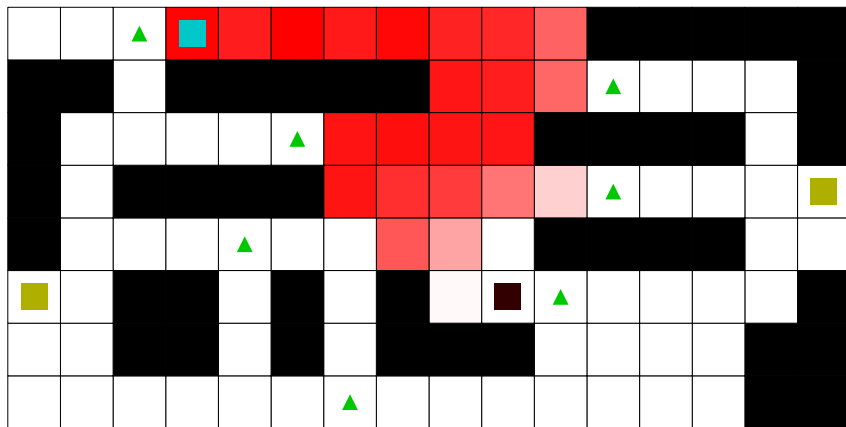
# Carte de chaleur : Stratégie A, Partie # 10, Tour # 4



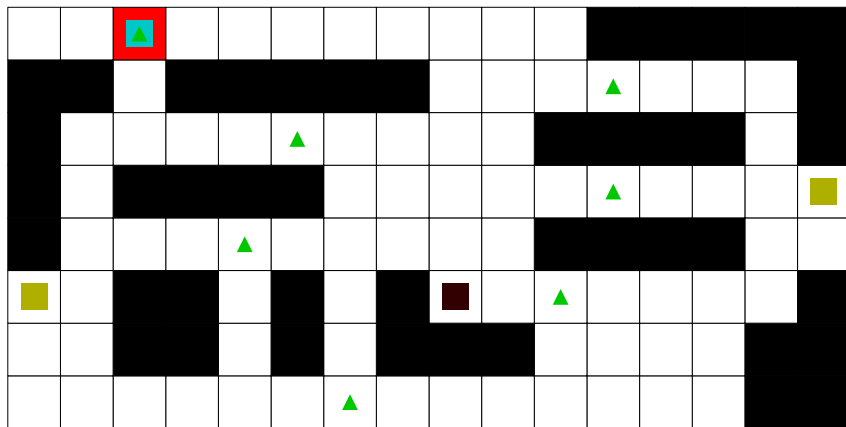
# Carte de chaleur : Stratégie A, Partie # 10, Tour # 5



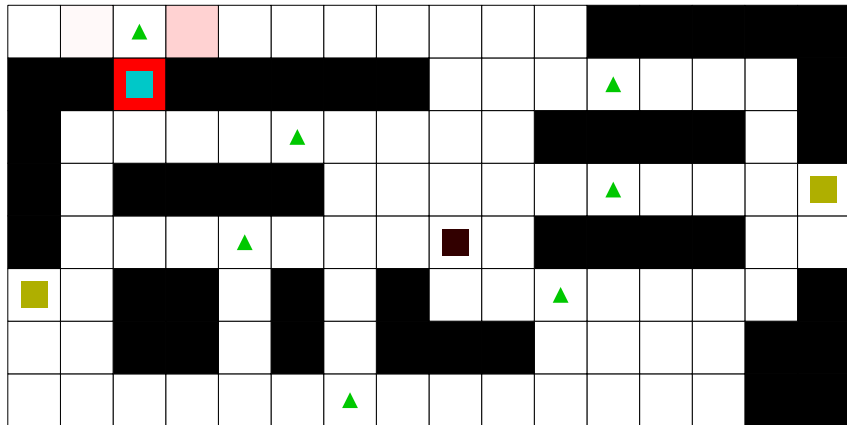
# Carte de chaleur : Stratégie A, Partie # 10, Tour # 6



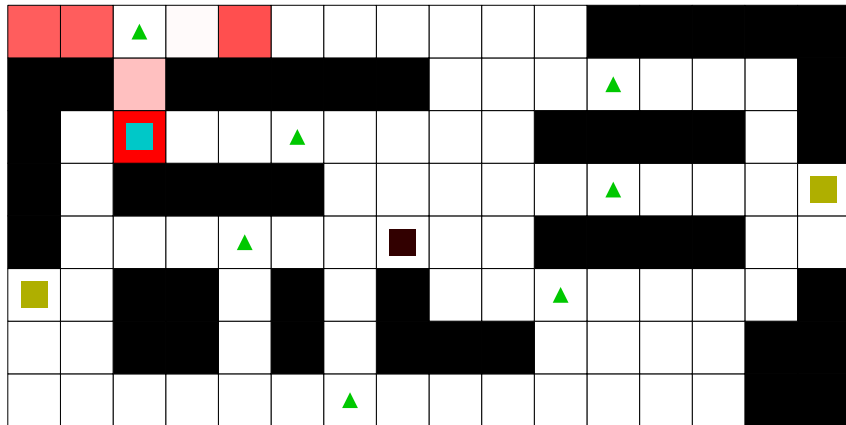
# Carte de chaleur : Stratégie A, Partie # 10, Tour # 7



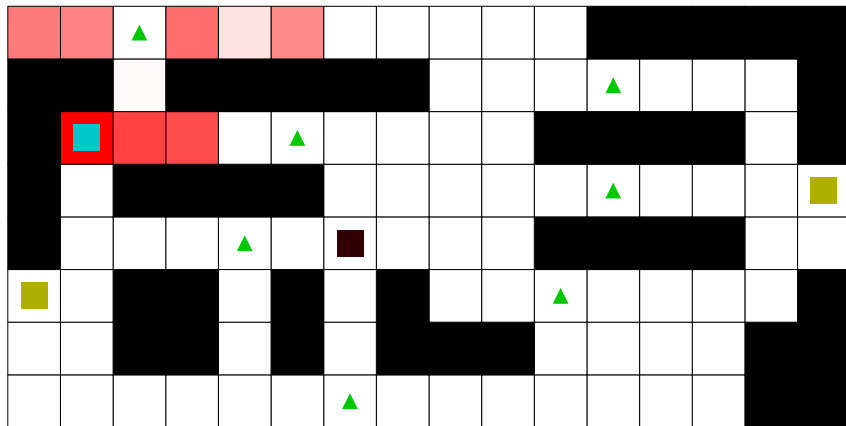
# Carte de chaleur : Stratégie A, Partie # 10, Tour # 8



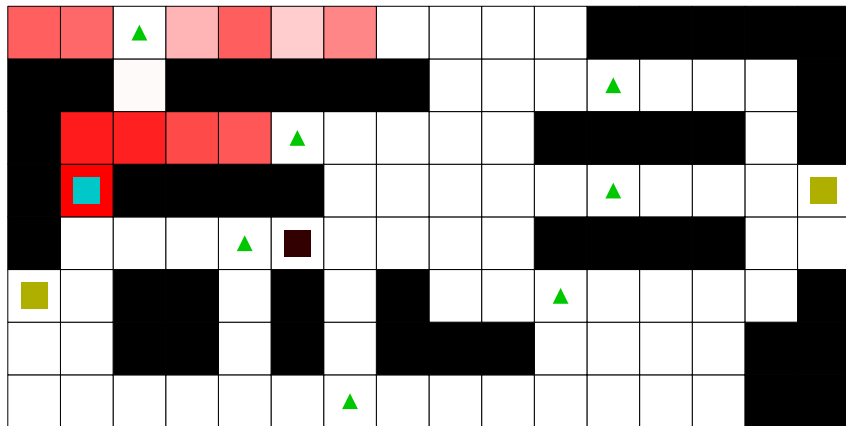
# Carte de chaleur : Stratégie A, Partie # 10, Tour # 9



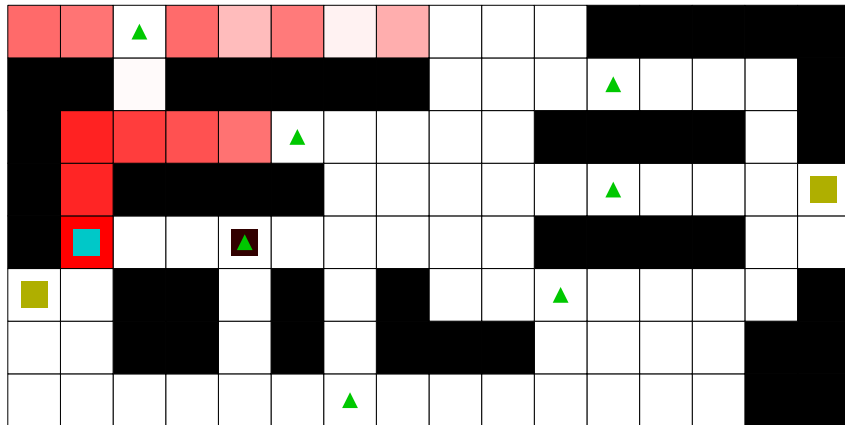
# Carte de chaleur : Stratégie A, Partie # 10, Tour # 10



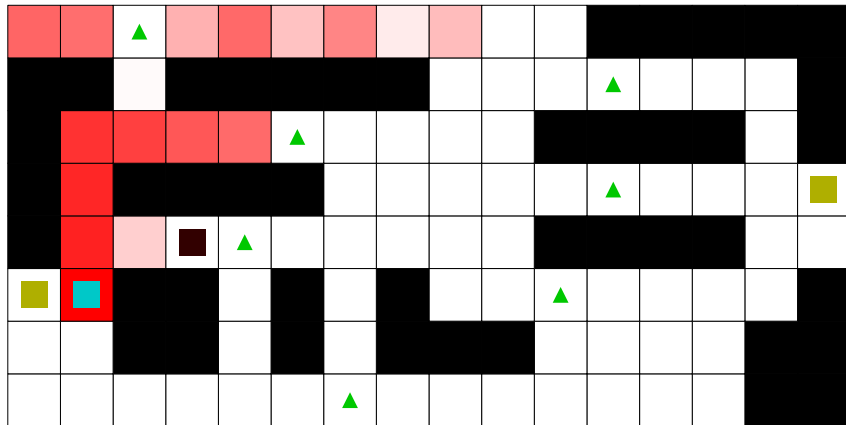
# Carte de chaleur : Stratégie A, Partie # 10, Tour # 11



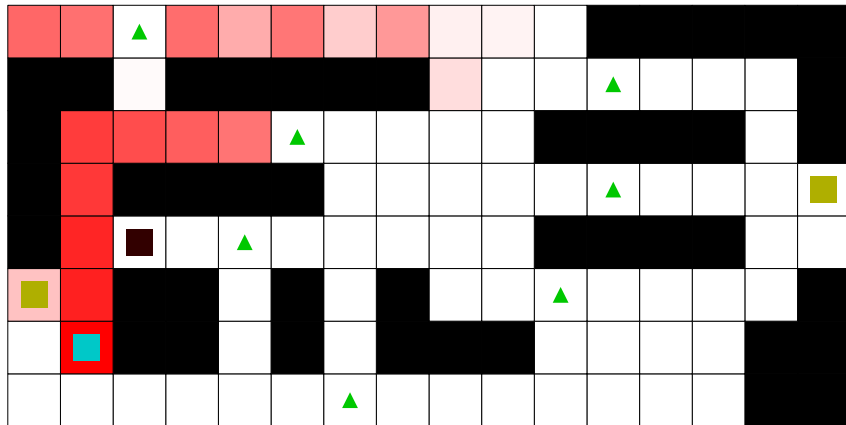
# Carte de chaleur : Stratégie A, Partie # 10, Tour # 12



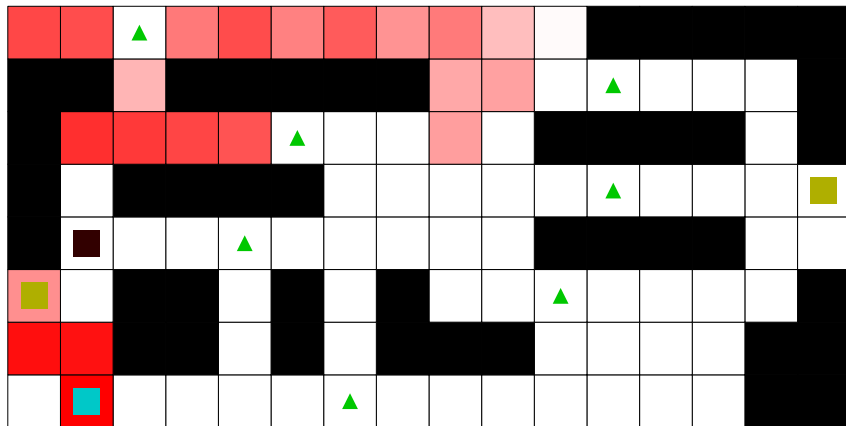
# Carte de chaleur : Stratégie A, Partie # 10, Tour # 13



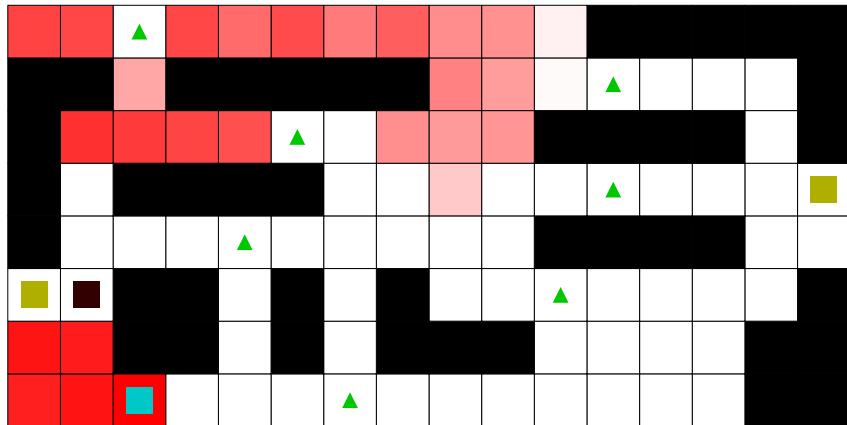
# Carte de chaleur : Stratégie A, Partie # 10, Tour # 14



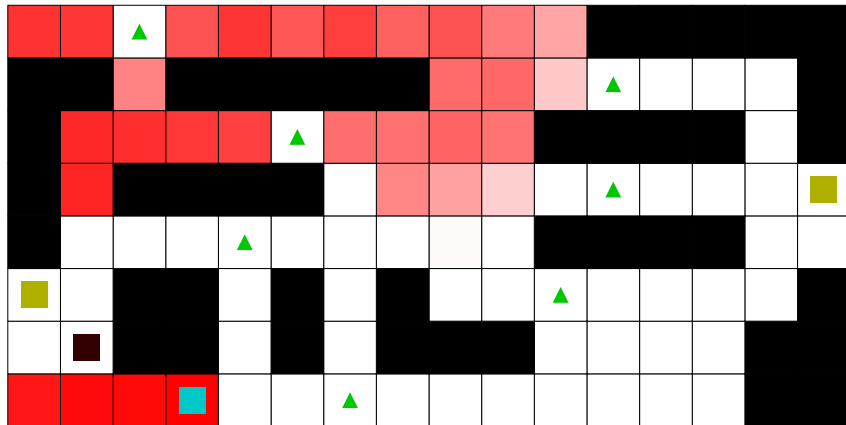
# Carte de chaleur : Stratégie A, Partie # 10, Tour # 15



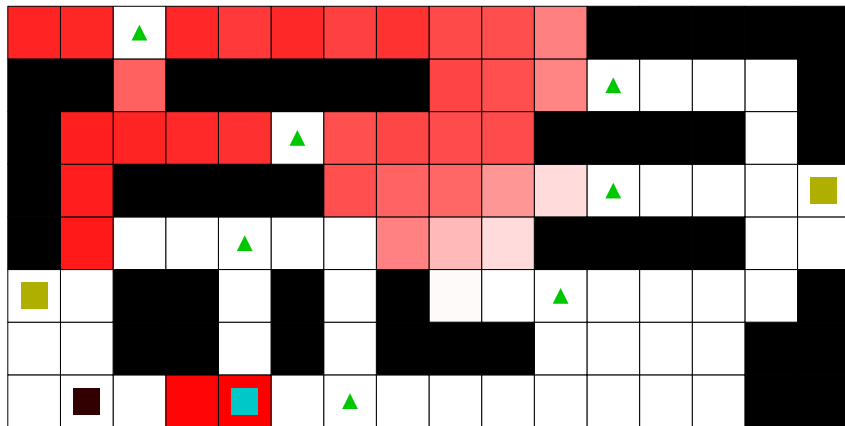
# Carte de chaleur : Stratégie A, Partie # 10, Tour # 16



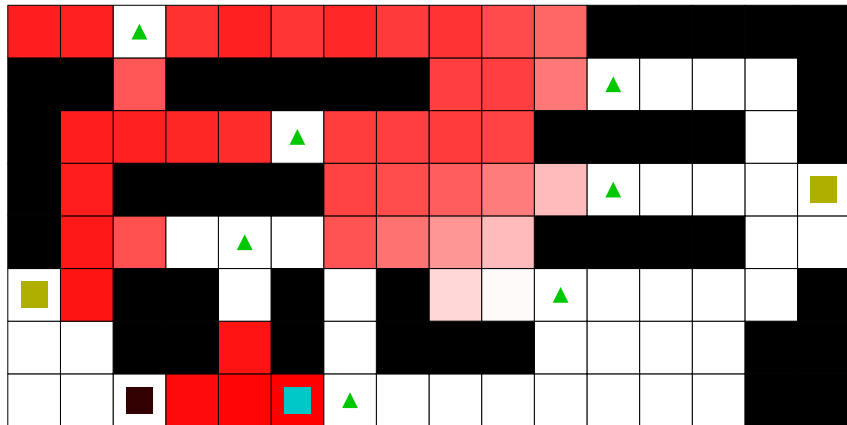
# Carte de chaleur : Stratégie A, Partie # 10, Tour # 17



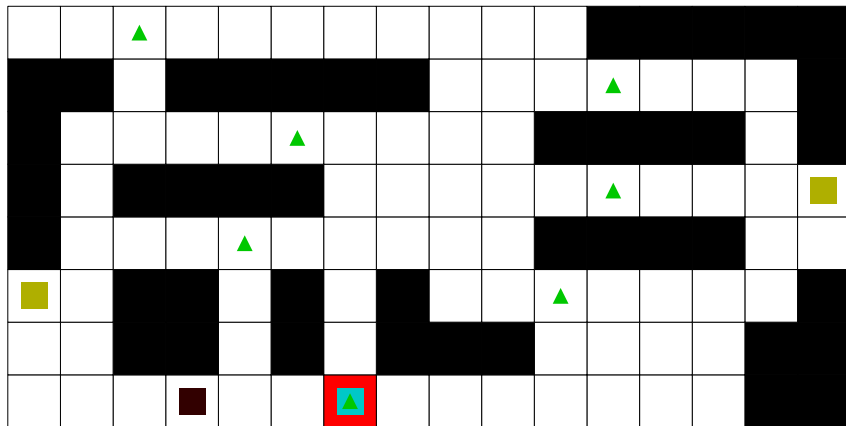
# Carte de chaleur : Stratégie A, Partie # 10, Tour # 18



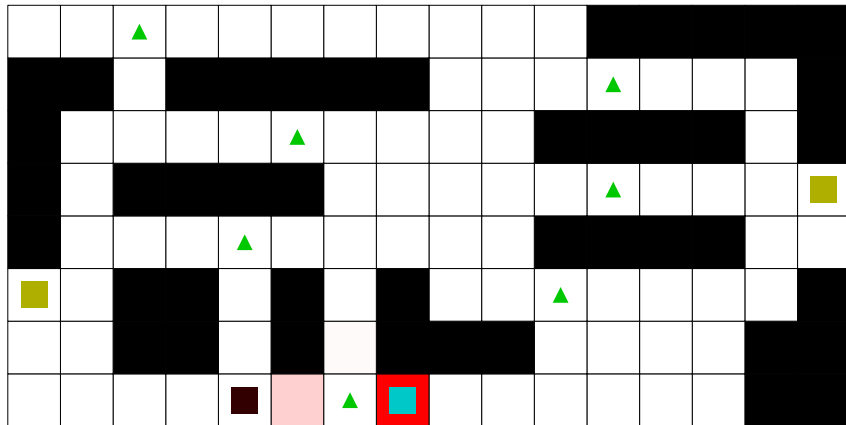
# Carte de chaleur : Stratégie A, Partie # 10, Tour # 19



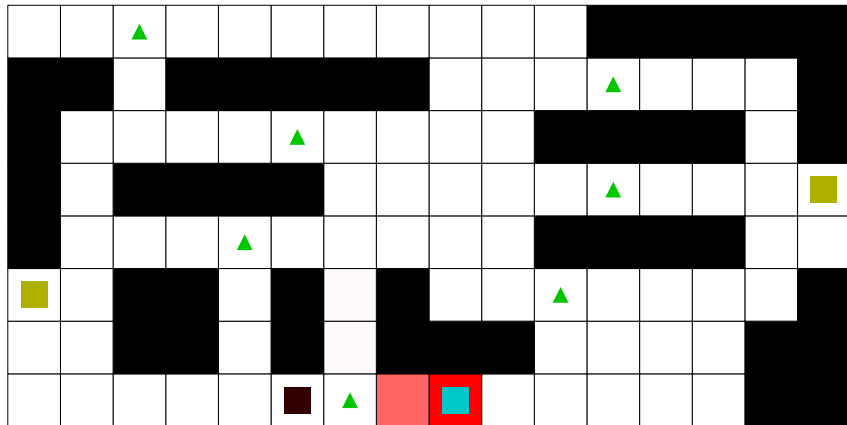
# Carte de chaleur : Stratégie A, Partie # 10, Tour # 20



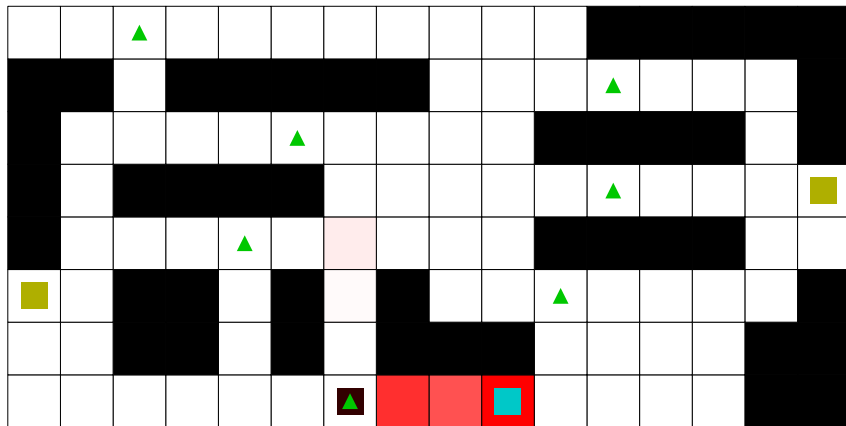
# Carte de chaleur : Stratégie A, Partie # 10, Tour # 21



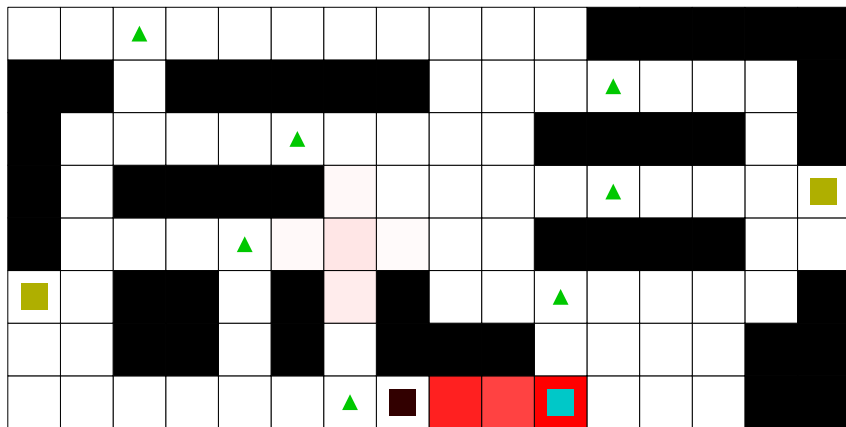
# Carte de chaleur : Stratégie A, Partie # 10, Tour # 22



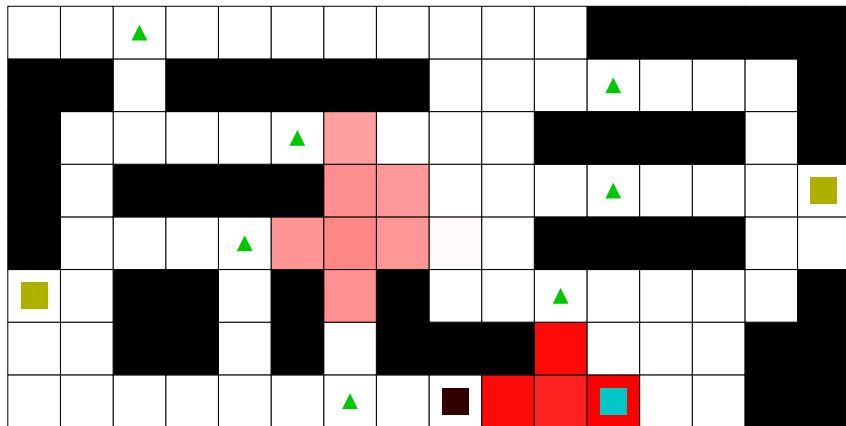
# Carte de chaleur : Stratégie A, Partie # 10, Tour # 23



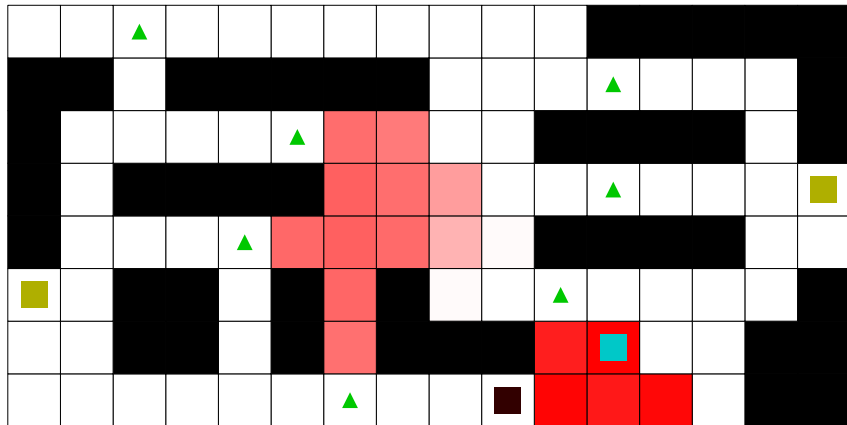
# Carte de chaleur : Stratégie A, Partie # 10, Tour # 24



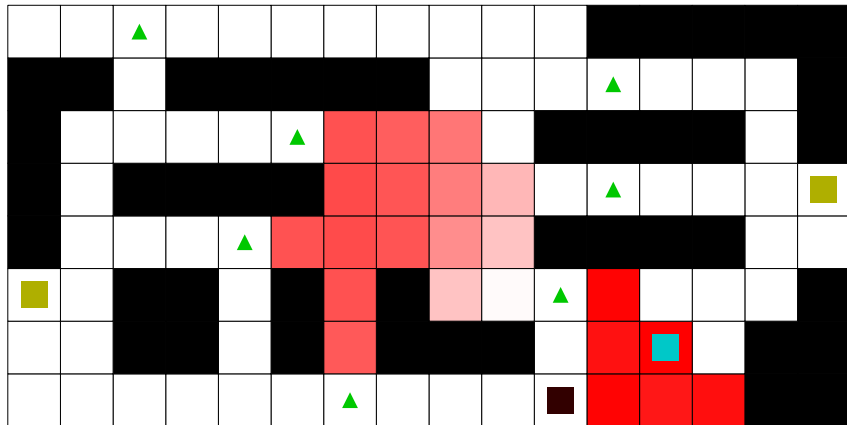
# Carte de chaleur : Stratégie A, Partie # 10, Tour # 25



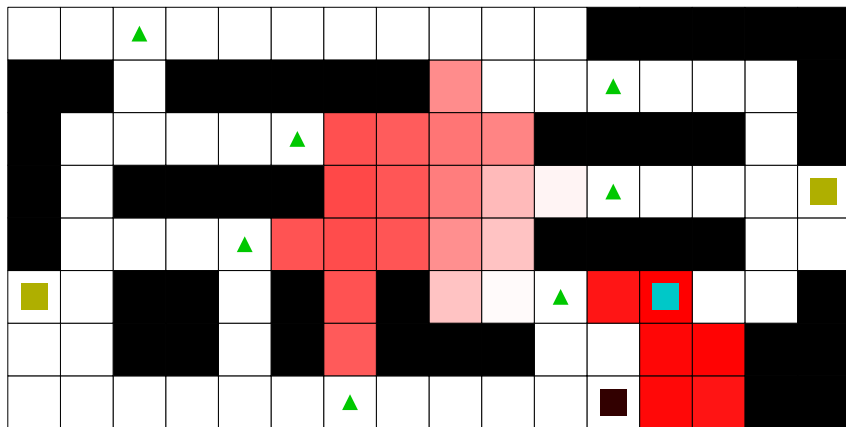
# Carte de chaleur : Stratégie A, Partie # 10, Tour # 26



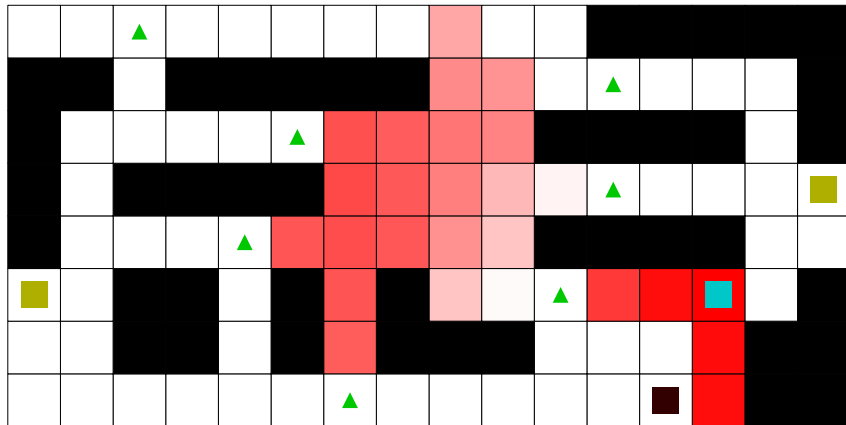
# Carte de chaleur : Stratégie A, Partie # 10, Tour # 27



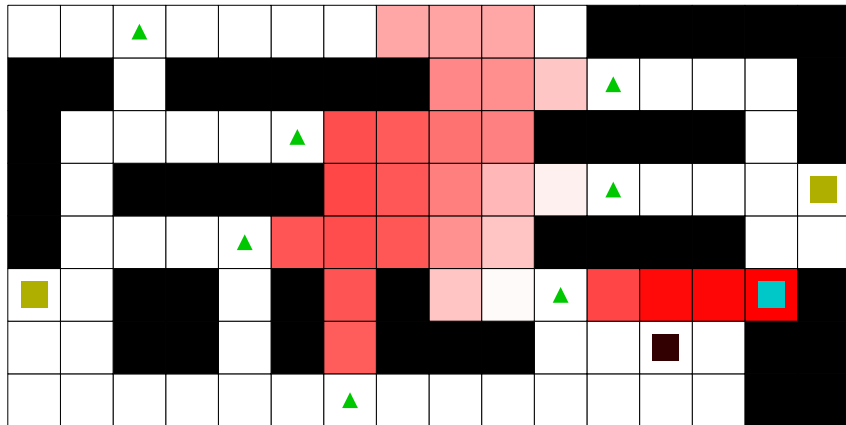
# Carte de chaleur : Stratégie A, Partie # 10, Tour # 28



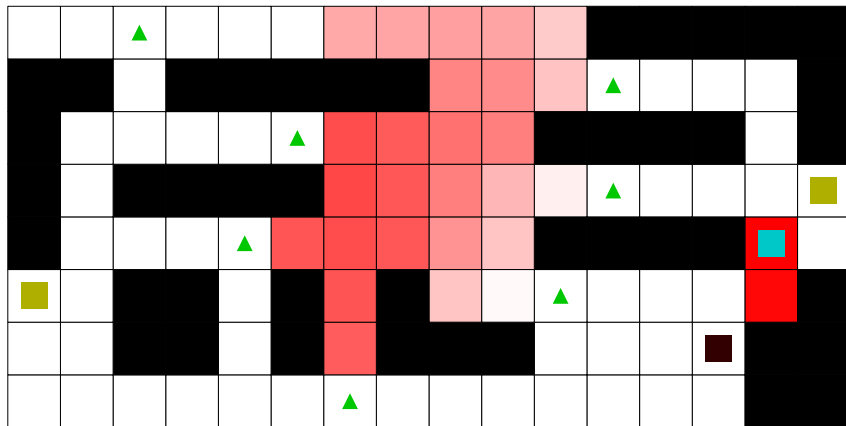
# Carte de chaleur : Stratégie A, Partie # 10, Tour # 29



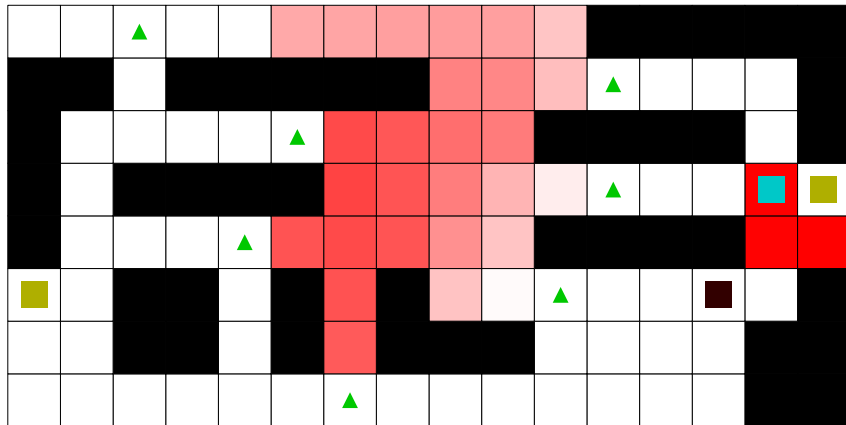
# Carte de chaleur : Stratégie A, Partie # 10, Tour # 30



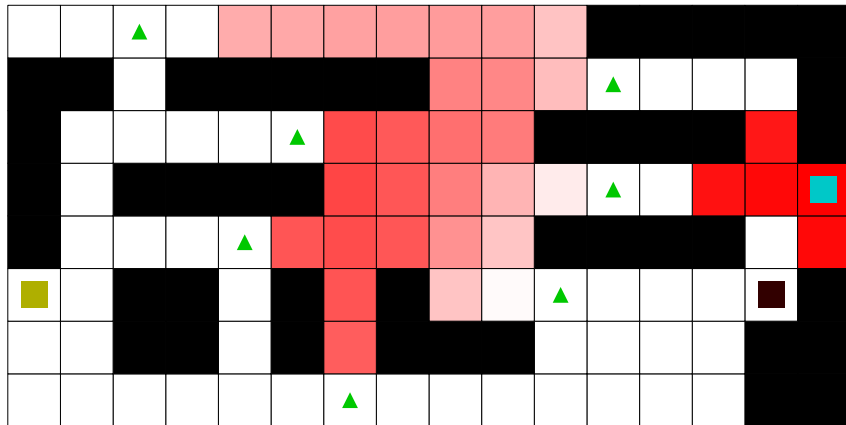
# Carte de chaleur : Stratégie A, Partie # 10, Tour # 31



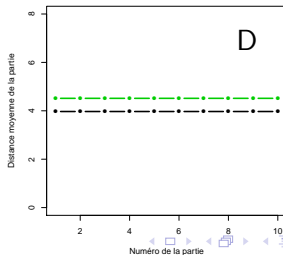
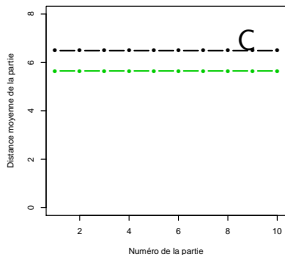
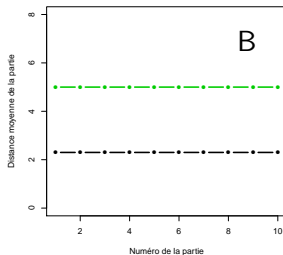
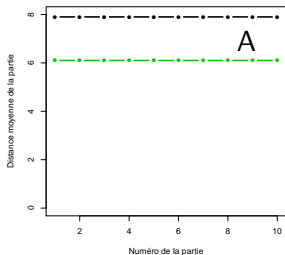
# Carte de chaleur : Stratégie A, Partie # 10, Tour # 32



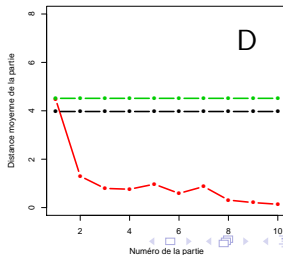
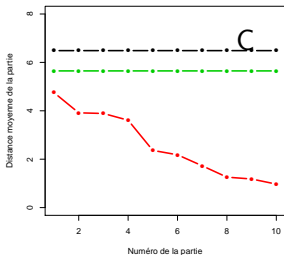
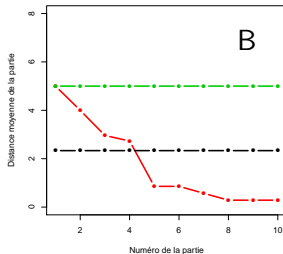
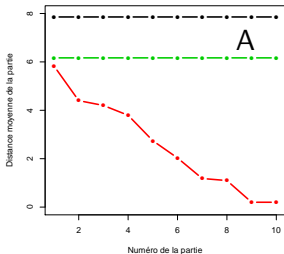
# Carte de chaleur : Stratégie A, Partie # 10, Tour # 33



# Premier scénario : Évolution de la statistique de test.



# Premier scénario: Évolution de la statistique de test.

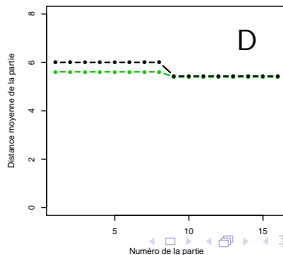
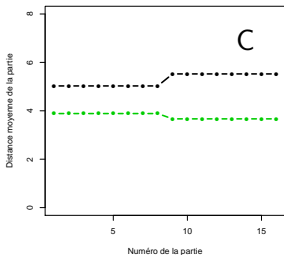
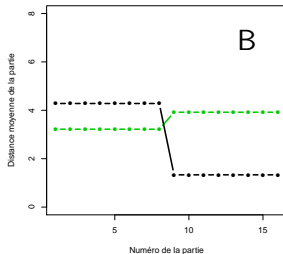
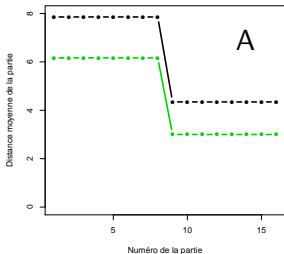


# Premier scénario: Comparaison de la statistique de test.

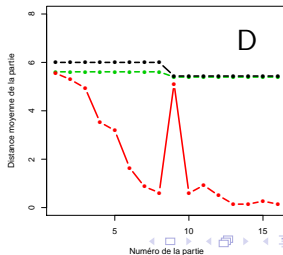
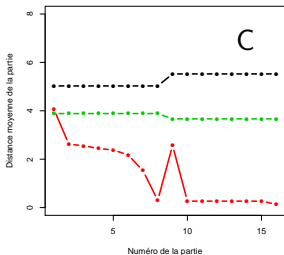
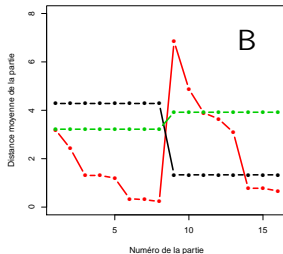
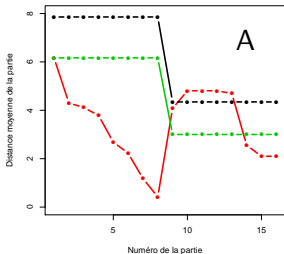
Stratégie	Partie #10	
	Valeurs $t$	Valeurs $p$
A	-7.3049	6.225e-09
B	-3.2673	0.00619
C	-5.7857	4.376e-07
D	-9.7531	4.356e-12

Table: Résultats des tests pour les quatre stratégies du premier scénario.

# Deuxième scénario : Évolution de la statistique de test.



# Deuxième scénario : Évolution de la statistique de test.

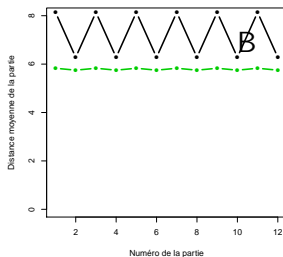
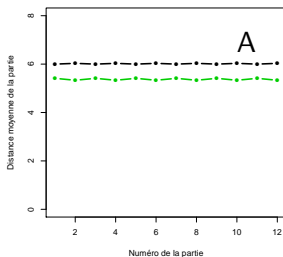


## Deuxième scénario : Comparaison de la statistique de test.

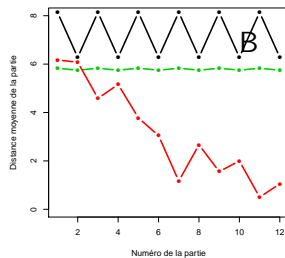
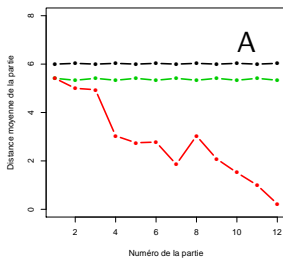
Changement	Partie #8		Partie #9		Partie #16	
	Valeurs $t$	Valeurs $p$	Valeurs $t$	Valeurs $p$	Valeurs $t$	Valeurs $p$
A	-6.9473	1.42e-08	0.7686	0.4492	-0.7168	0.2419
B	-6.4082	9.993e-08	2.7693	0.007986	-4.5768	4.114e-05
C	-6.3822	9.97e-08	-1.1967	0.2386	-5.0932	2.241e-05
D	-7.2901	4.362e-08	-0.2683	0.7894	-8.0063	1.387e-09

**Table:** Résultats des tests pour les quatre changements de stratégies du deuxième scénario.

# Troisième scénario : Évolution de la statistique de test.



# Troisième scénario : Évolution de la statistique de test.



## Troisième scénario : Comparaison de la statistique de test.

Alternance	Partie #11		Partie #12	
	Valeurs $t$	Valeurs $p$	Valeurs $t$	Valeurs $p$
A	-5.3526	6.451e-06	-7.8525	1.783e-09
B	-6.8703	1.983e-08	-6.2715	2.553e-07

**Table:** Résultats des tests pour les deux alternances de stratégies du troisième scénario.

# Conclusion

# Conclusion

- Estimation en temps réelle précise et efficace.
- Peu d'effort pour un ordinateur, peut s'appliquer à plusieurs domaines.
- L'apprentissage nécessite un plus d'ajustements.
- Outils très puissants.
- Quelques améliorations : son, HSMM, agglomération d'états.. .

Fin